

# 第二章 控制系统数学模型

## Chapter 2 Mathematical Model of Control Systems

§ 2-1 导论(Introduction)

§ 2-2 控制系统的微分方程(Differential equation)

§ 2-3 拉普拉斯变换(Laplace transformation)

§ 2-4 控制系统的传递函数描述(Transfer function description)

§ 2-5 控制系统的结构图(Block diagram)

§ 2-6 控制系统的信号流图(Signal-flow graph)

§ 2-7 控制系统的传递函数(Transfer function description)

## § 2-1 导论(Introduction)

- ❖ 数学模型(Mathematical model) :
  - ❧ 描述系统性能的数学表达式，叫做系统的数学模型。
- ❖ 动态模型(Dynamic model) :
  - ❧ 描述系统动态过程的方程式称为动态模型。如微分方程、偏微分方程、差分方程等。
- ❖ 静态模型(Static model) :
  - ❧ 在静态条件下(即变量的各阶导数为零)，描述系统各变量之间关系的方程式，称为静态模型。



# 建立数学模型应注意

- ❖ 全面了解系统的自然特性，分析研究的目的和要求，决定能否忽略一些次要因素而使系统数学模型简化。
- ❖ 根据所应用的系统分析方法，建立相应形式的数学模型（微分方程、传递函数等）。

# 建立系统数学模型的途径:

## ❖ 演绎法(Deduction):

❧ 在建立模型时, 通过对系统本身机理 (物理、化学规律) 的分析确定模型的结构和参数, 从理论上推导出系统的数学模型的一种方法。

## ❖ 归纳法(Induction):

❧ 根据对系统的观察, 通过测量所得到的大量输入、输出数据, 推断出被研究系统的数学模型。

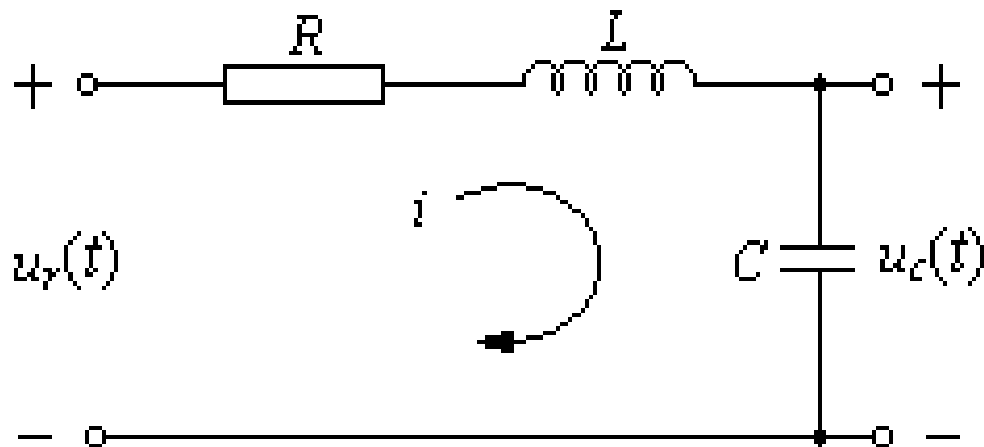


## § 2-2 控制系统的微分方程 (Differential Equation)

建立系统(或元件)微分方程式的一般步骤:

- (1) 了解系统组成及各环节之间的传递关系, 确定系统输入、输出变量, 系统内部变量及变量之间的相互关系。
- (2) 从输入端开始按照信号流向, 分析各环节的运动机理, 写出描述各环节动态关系的微分方程。
- (3) 采用微偏线性化等方法对原始微分方程进行简化。
- (4) 对简化后方程进行推导, 消除中间变量, 仅保留系统输入变量和输出变量。
- (5) 对偏微分方程整理成规范形式, 即将输出变量及其各阶导数项放在等号左边, 输入变量及其各阶导数项放在等号右边, 分别按降阶顺序排列。

# 例1 R-L-C电路



$u_r(t)$ 为输入电压

$u_c(t)$ 为输出电压

要求列出 $u_c(t)$ 与 $u_r(t)$ 的关系方程式。

(1) 根据基尔霍夫定律可写出原始方程式

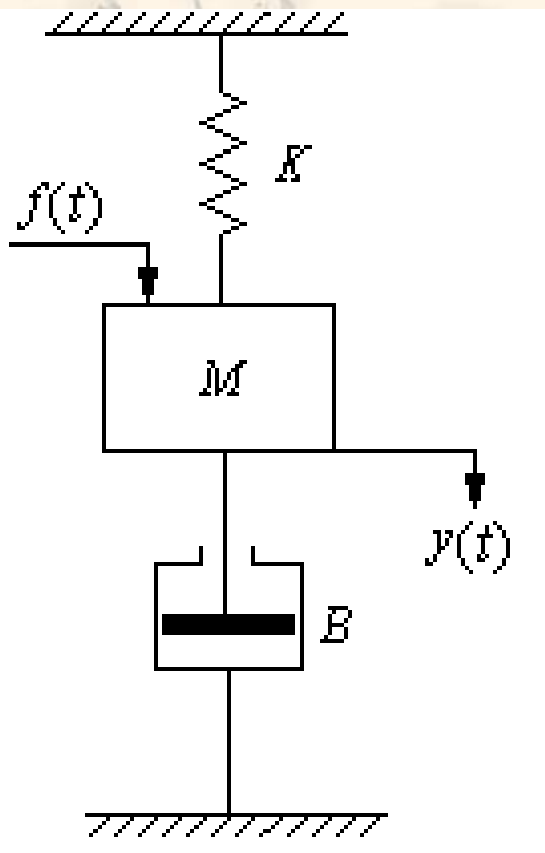
(2) 式中 $i$ 是中间变量, 它与输出 $u_c(t)$ 有如下关系

(3) 消去中间变量 $i$ 后, 输入输出微分方程式

$$u_r(t) = RC \frac{du_c(t)}{dt} + LC \frac{d^2 u_c(t)}{dt^2} + u_c(t)$$

或  $T_1 T_2 \frac{d^2 u_c(t)}{dt^2} + T_2 \frac{du_c(t)}{dt} + u_c(t) = u_r(t), T_1 = L/R, T_2 = RC$

## 例2 弹簧—质量—阻尼器系统



输入—— $f(t)$       输出—— $y(t)$

要求写出系统在外界变量  $f(t)$  作用下的运动方程式

(1) 列出原始方程式

$$f(t) - f_1(t) - f_2(t) = M \frac{d^2 y(t)}{dt^2}$$

阻

$$f_1(t) = B \frac{dy(t)}{dt}$$

阻尼器阻力

$$f_2(t) = Ky(t)$$

弹簧力

整理得

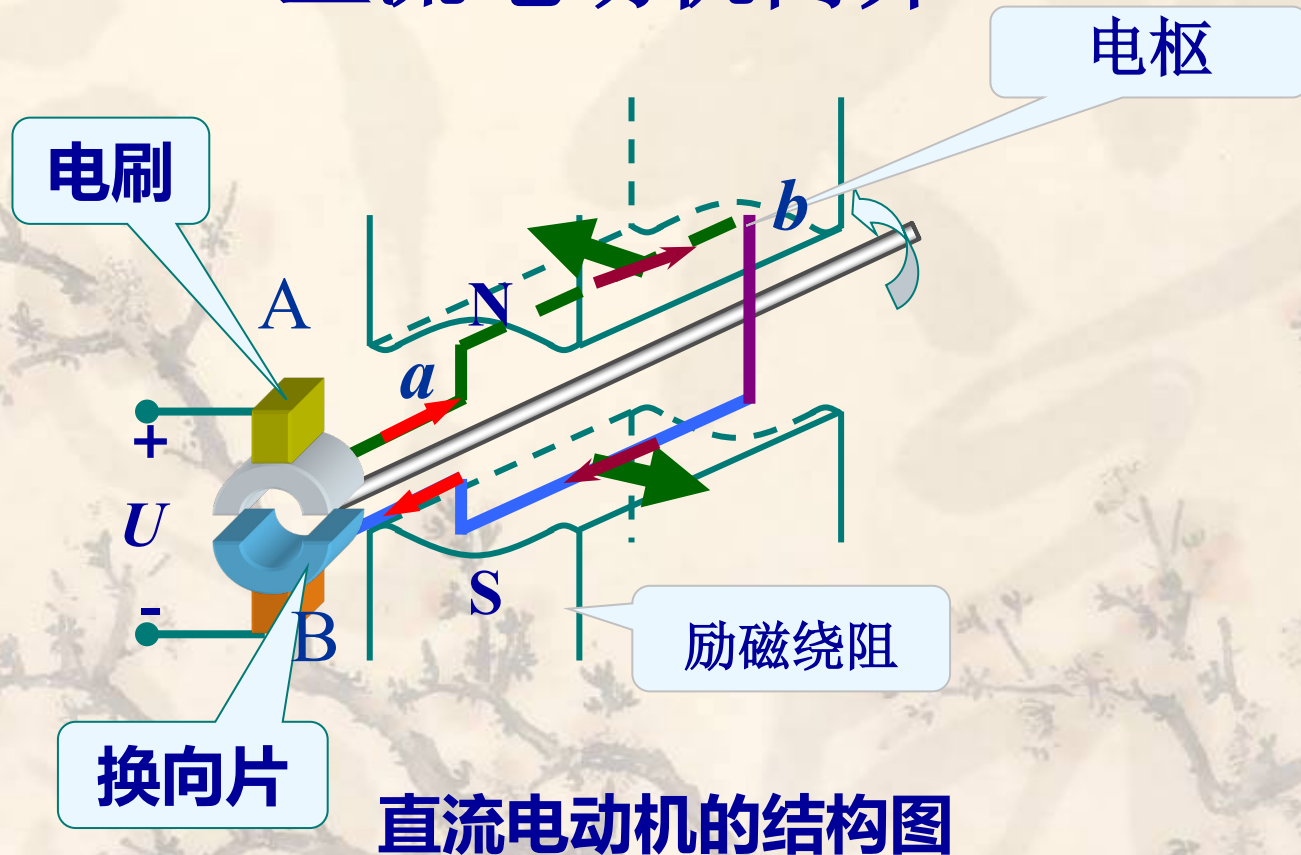
$$M \frac{d^2 y(t)}{dt^2} + B \frac{dy(t)}{dt} + Ky(t) = f(t)$$

弹性系数

——线性定常二阶微分方程式



# 直流电动机简介

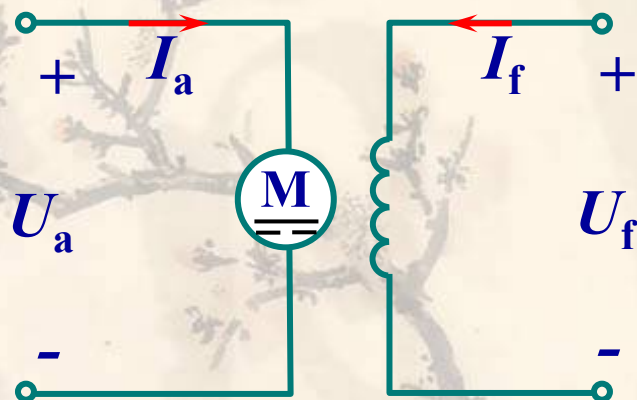


直流电动机的结构图

电枢绕组通过电刷接到直流电源上，电枢绕组的转轴与机械负载相连，这时便有电流从电源的正极流出，经电刷A流入电枢绕组，然后经电刷B流回电源的负极。



# 直流电动机原理图



电枢回路

励磁回路

直流电动机控制方式分为**电枢控制**和**磁场控制**两种形式。

当电枢绕组中有电枢电流通过时，在磁场内受电磁力的作用，产生电磁转矩：

**推导**

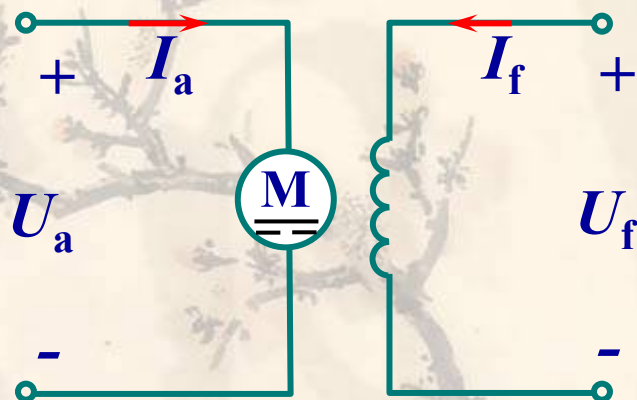
$$M = C_m I_a$$

电枢和励磁绕组分别由两个独立的直流电源供电。

$C_m$ 为电动机轴  
转矩系数

$I_a$ 为电枢电流

# 直流电动机原理图



电枢回路

励磁回路

电枢和励磁绕组分别由两个独立的直流电源供电。

直流电动机控制方式分为电枢控制和磁场控制两种形式。

推导

当电枢旋转时，主磁场在电枢绕组中感应的电动势为： $E_a = C_d \omega$

$C_d$ 为电动势系数

$\omega$ 为电动机轴角速度



### 例3 直流电动机—电枢控制的直流电动机

式中  $L_a$  — 电枢回路总电感(亨);

$R_a$  — 电枢回路总电阻(欧);

$C_d$  — 电动机比例系数(伏/弧度/秒);

$\omega$  — 电动机机械角速度(弧度/秒);

$U_d$  — 电枢电压(伏);

$i_a$  — 电枢电流(安)。

式中  $J$  — 转动部分转动惯量(千克·米<sup>2</sup>);

$M_L$  — 电动机轴上负载转矩(牛顿·米);

$M$  — 电动机电磁转矩(牛顿·米)。

$$U_d = R_a i_a + L_a \frac{di_a}{dt} + E_a = R_a i_a + L_a \frac{di_a}{dt} + C_d \omega$$

根据刚体旋转定律得:

$$M = J \frac{d\omega}{dt} + M_L$$

(2)  $M$ 和 $i_a$ 是中间变量。由于电动机转矩与电枢电流和气隙磁通的乘积成正比，磁通恒定，  
 所以有  $M = C_m i_a$

联立求解，整理后得

或电动机转矩系数(牛顿·米/安)

$$C_d C_m \frac{d^2 \omega}{dt^2} + T_m \frac{d\omega}{dt} + \omega = \frac{1}{C_d} U_d - \frac{T_a T_m}{J} \frac{dM_L}{dt} - \frac{T_m}{C_d C_m} M_L$$

$$T_m = \frac{R_a J}{C_d C_m}$$

——机电时间常数(秒);

$$T_a = \frac{L_a}{R_a}$$

——电动机电枢回路时间常数 (秒)

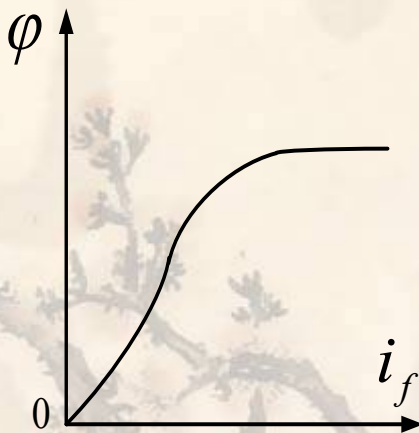
若输出为电动机的转角 $\theta$ ，则有

$$T_a T_m \frac{d^3 \theta}{dt^3} + T_m \frac{d^2 \theta}{dt^2} + \frac{d\theta}{dt} = \frac{1}{C_d} U_d - \frac{T_a T_m}{J} \frac{dM_L}{dt} - \frac{T_m}{J} M_L$$

——三阶线性定常微分方程

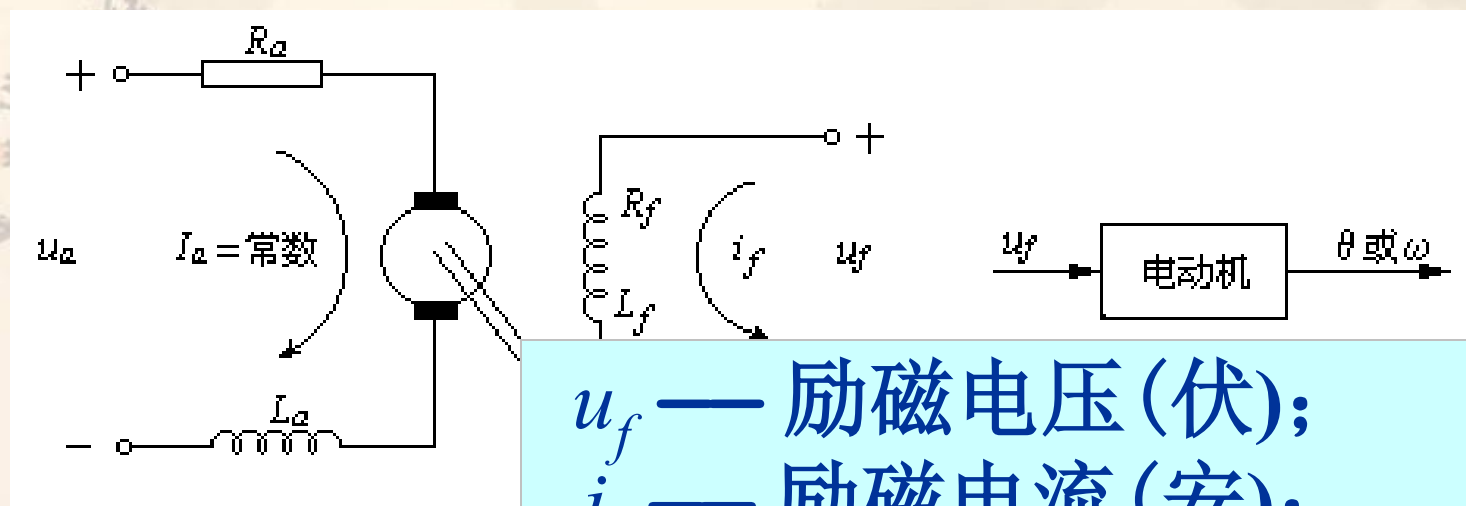


当恒定功率负载或者电枢电流保持恒定时，假设电枢电流 $I_a$ 为常数，气隙磁通 $\varphi(t) = K_f i_f(t)$ ，其中 $i_f$ 为励磁电流， $K_f$ 为常数，假设铁心不饱和，气隙磁通工作在线性段，如下图所示。



由于磁通 $\varphi(t)$ 随时间改变， $K_e$ 和 $K_m$ 不再为常数，电枢控制不再使用。在此种情况下，采用**磁场控制方式**控制电机转动。

# 例4 磁场控制的直流电动机



$u_f$  — 励磁电压(伏);  
 $i_f$  — 励磁电流(安);  
 $R_f$  — 励磁回路电阻(欧);  
 $\varphi$  — 励磁绕组磁链(韦)。

设电枢电流  $I_a = \text{常数}$

气隙磁通  $\varphi(t) = K_f i_f$

励磁回路电感  $L_f$  为常值。

(1) 励磁回路方程式 
$$u_f = R_f i_f + \frac{d\varphi}{dt}$$



$T_f$ —励磁回路时间常数(秒),  $T_f = \frac{L_f}{R_f}$

$T_m$ —惯性和阻尼摩擦时间常数(秒),  $T = \frac{J}{B}$

$J$ —转动部分转动惯量;  
 $B$ —阻尼摩擦系数。

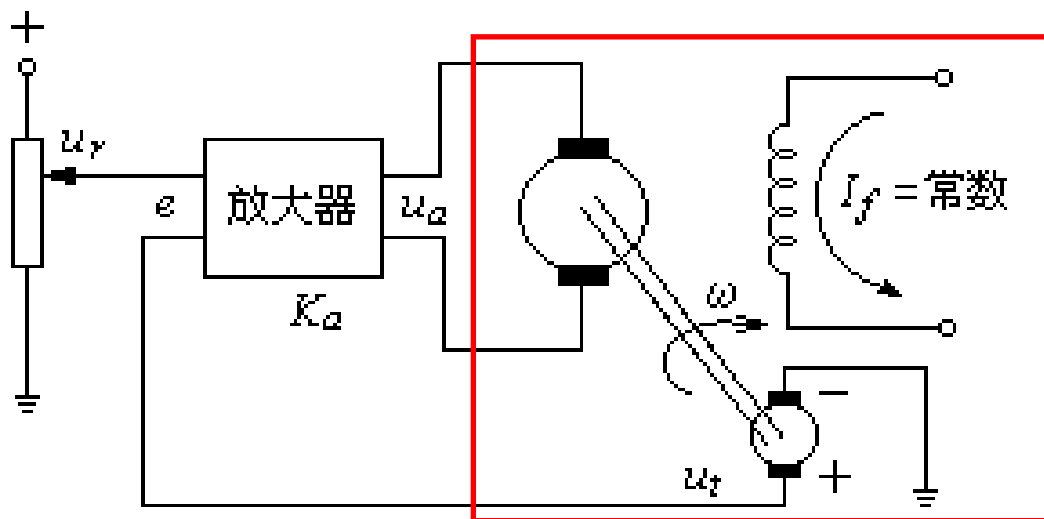
$K_d$ —电动机传递系数

∴  
或

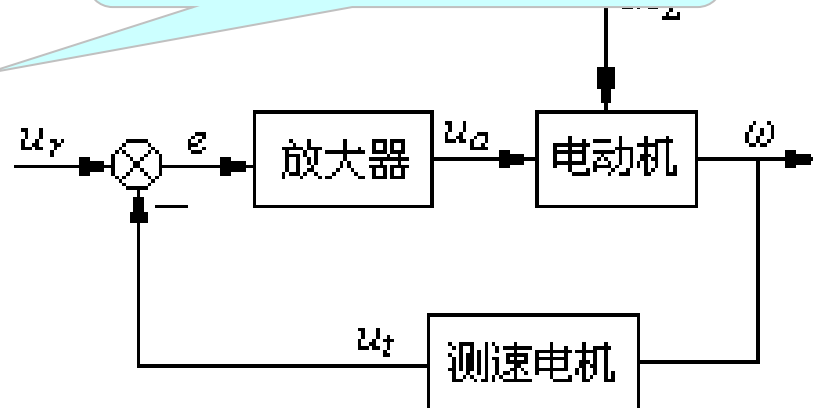
$$\frac{L_f}{R_f} \frac{d^2 \omega}{dt^2} + \left( \frac{L_f}{R_f} + \frac{J}{B} \right) \frac{d\omega}{dt} + \omega = \frac{K_i}{R_f B} u_f$$

$$T_f T_m \frac{d^2 \omega}{dt^2} + (T_f + T_m) \frac{d\omega}{dt} + \omega = K_d u_f$$

# 例5 电动机转速控制系统



闭环控制系统



已知控制系统其输出为角速度 $\omega$ ，参考输入为 $u_r$ ，扰动输入为负载转矩 $M_L$ 。

(1) 列各元件方程式。电动机方程式为：

$$T_a T_m \frac{d^2 \omega}{dt^2} + (R_a + a T_m) \frac{d\omega}{dt} + \frac{a T_m}{J} \omega = \frac{a T_m}{J} u_a - \frac{a T_m}{J} M_L$$

$$u_a = K_a e \quad u_t = K_t \omega \quad e = u_r - u_t$$



(2) 消去中间变量。从以上各式中消去中间变量  $u_a$ ,  $e$ ,  $u_t$ , 最后得到系统的微分方程式

$$T_a T_m \frac{d^2 \omega}{dt^2} + T_m \frac{d\omega}{dt} + \omega = \frac{K_a}{K_e} u_r - \frac{T_a T_m}{J} \frac{dM_L}{dt} - \frac{T_m}{J} M_L$$

两式相比较

$K = \frac{K_a K_t}{K_e}$  为各元件传递系数的乘积, 称为系统的开环放大系数。

$$T_a T_m \frac{d^2 \omega}{dt^2} + T_m \frac{d\omega}{dt} + \omega = \frac{1}{K_e} u_a - \frac{T_a T_m}{J} \frac{dM_L}{dt} - \frac{T_m}{J} M_L$$

可以看出, 假如  $K$  足够大, 由于应用了反馈, 负载转矩对转速的影响大大降低(为原来的  $1/(1+K)$ ), 抗干扰能力加强, 控制精度提高。

# 热力系统

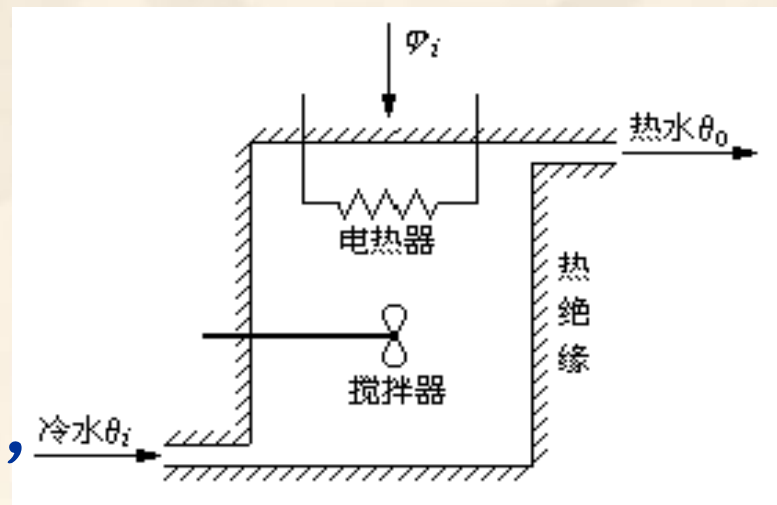
凡是能将热量从一种物质传递到另一种物质的系统，称为**热力系统**。

右图所示的热力系统是一个通过液体来传递热量的系统。假设容器中的液体混合均匀，其各点温度是相同的。

设 $\phi_t$ 为供给水箱中水的热流量，计算公式为

$$\phi_t = C \frac{d\theta_o}{dt}$$

其中 $C$ 为水箱中水的热容量， $\theta_o$ 为水箱中水的温度， $t$ 为时间。



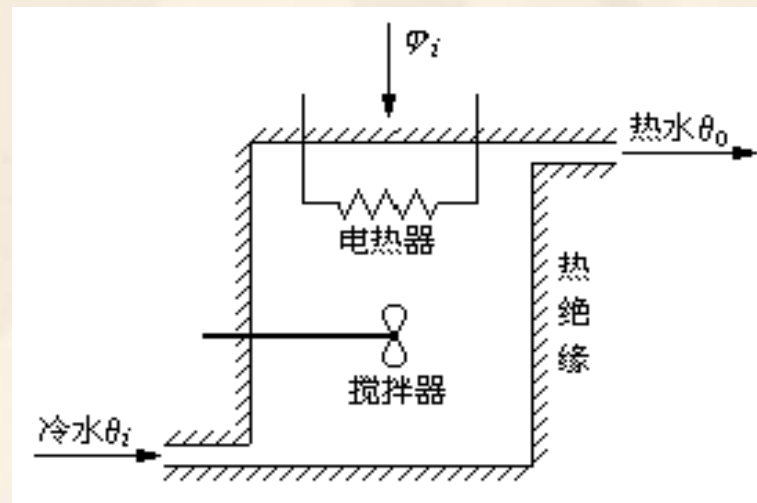


设 $\phi_o$ 为出水带走的热流量，计算公式为  $\phi_o = QC_p\theta_o$

其中 $Q$ 为出水质量流量， $C_p$ 为水的比热容， $\theta_o$ 为水箱中水的温度。

设 $\phi_s$ 为通过热绝缘耗散的热流量，计算公式为  $\phi_s = (\theta_o - \theta_i)/R$

其中 $\theta_o$ 为出水的温度， $\theta_i$ 为进水温度， $R$ 为由水箱内壁通过热绝缘扩散到周围环境的等效热值。





## 例6 热力系统

输入量为  $\phi_i$   
输出量为  $\theta_o$

$\phi_t$  — 供给水箱中水的热流量 (瓦特)  
 $\phi_o$  — 出水带走的热流量 (瓦特)  
 $\phi_c$  — 进水带入的热流量 (瓦特)  
 $\phi_s$  — 通过热绝缘  
 $R$  — 由水箱热绝缘扩散到周围环境的传热系数 (°C/瓦特)。

冷水

(1) 按能量守恒定律可写出热流量平衡方程

$$\phi_i = \phi_t + \phi_o - \phi_c + \phi_s$$

(2) 找出中间变量

(瓦/秒);

(瓦/千克·°C)。

$$\phi_o = Q C_p \theta_o$$

$$\phi_s = \frac{\theta_o - \theta_i}{R}$$

### (3) 将以上各式代入热平衡方程

$$C \frac{d\theta_o}{dt} + (QC_p + \frac{1}{R})\theta_o = \phi_i + (QC_p + \frac{1}{R})\theta_i$$

或

$$T \frac{d\theta_o}{dt} + (QC_p R + 1)\theta_o = R\phi_i + (QC_p R + 1)\theta_i$$

——一阶非线性微分方程式  
 当  $\theta_i$  一定，环境温度  $\theta_i$  也一定，  
 **$T=RC$  为热时间常数(秒)**  
 定常微分方程

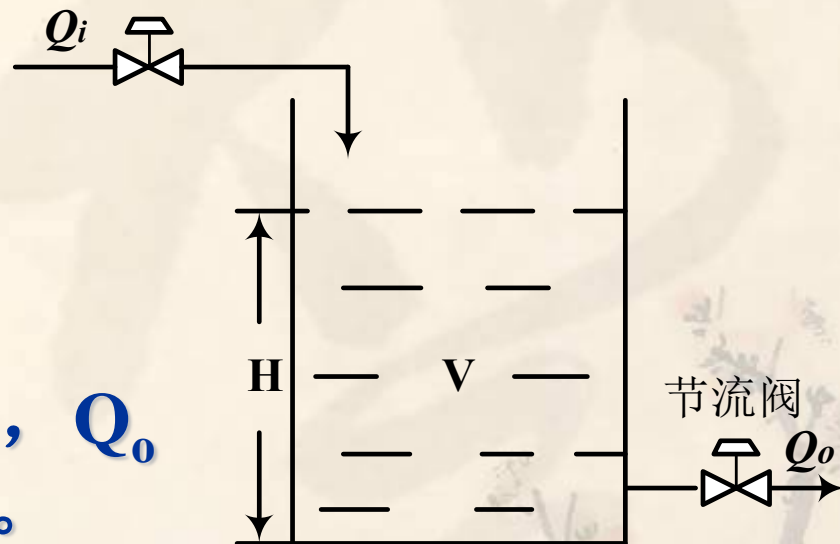
$$T \frac{d\theta}{dt} + (QC_p R + 1)\theta = R\phi_i$$

# 流体过程

过程描述:

$$S \frac{dH}{dt} = Q_i - Q_o$$

$H$ 为液面高度,  $Q_i$ 为流入量,  $Q_o$ 为流出量,  $S$ 为液罐截面积。



❖ 特点:

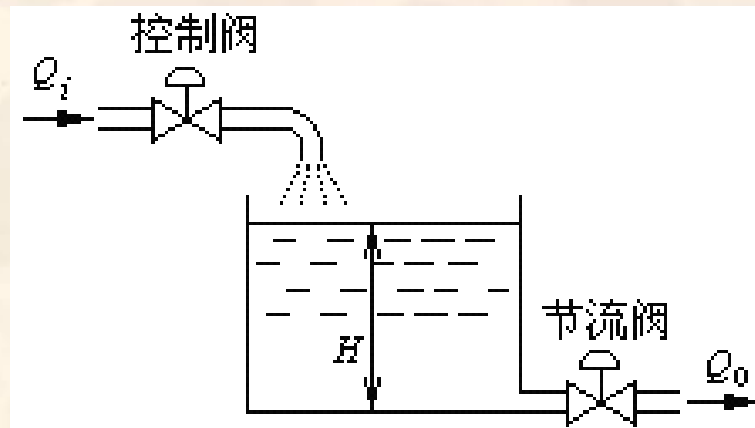
系统出口流量的推动力为液面高度 $H$ , 输出流量随液位变化。

❖ 输出流量 $Q_o$ 与液位 $H$ 的关系式:  $Q_o = \alpha \sqrt{H}$   $\alpha$ 为节流阀的流量系数。



## 例7 流体过程

输入量 $Q_i$ （供水量）  
输出量 $H$ （液面高度）  
求输入与输出关系式



(1) 设流体是不可压缩的。根据物质守恒定律，可得

$$SdH = (Q_i - Q_o)dt$$

(2) 求出中间变量 $Q_o$ 与其他变量关系

$$Q_o = \alpha\sqrt{H}$$

(3) 消去中间变量 $Q_o$ ，就得输入输出关系式

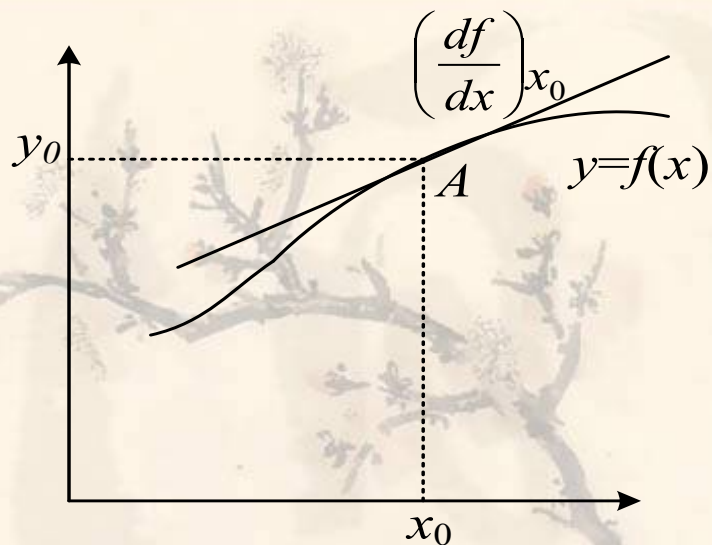
$$\frac{dH}{dt} + \frac{\alpha}{S}\sqrt{H} = \frac{1}{S}Q_i$$

（一阶非线性微分方程式）

# 非线性微分方程的线性化

严格地说，实际物理元件或系统都是非线性的。在一定条件下，为了简化数学模型，可以忽略非线性的影响，将物理元件视为线性元件，这就是通常使用的线性化方法。

此外，还有一种线性化方法，称为切线法或小偏差法，这种线性化方法特别适合于具有连续变化的非线性特性函数，其实质是在一个很小的范围内，将非线性特性用一段直线来代替。



小偏差线性化示意图

设连续变化的非线性函数为  $y=f(x)$ ，如左图所示。取某平衡状态A为工作点，对应有  $y_0=f(x_0)$ 。

当  $x = x_0 + \Delta x$  时，有  $y = y_0 + \Delta y$ ，设  $y=f(x)$  在  $(x_0, y_0)$  处连续可微。

在该点附近用泰勒级数展开为：

$$y = f(x) = f(x_0) + f'(x_0)(x - x_0) + \frac{1}{2!} f''(x_0)(x - x_0)^2 + \dots$$



当增量  $(x-x_0)$  很小时，略去其高次幂项，则有

$$y - y_0 = f(x) - f(x_0) = f'(x_0)(x - x_0)$$

令  $\Delta y = y - y_0 = f(x) - f(x_0)$ ， $\Delta x = x - x_0$ ， $K = f'(x_0)$

则，线性化方程可简记为

$$\Delta y = K \Delta x$$

略去增量符号  $\Delta$ ，便得函数  $y=f(x)$  在工作点 A 附近的线性化方程为

$$y = Kx$$

式中， $K = f'(x_0)$  是比例系数，它是函数  $f(x)$  在 A 点的切线斜率。

对于有两个自变量 $x_1, x_2$ 的非线性函数 $f(x_1, x_2)$ ，同样可以在某工作点 $(x_{10}, x_{20})$ 附近进行线性化。

这种小偏差线性化对控制系统大多数工作状态是可行的。事实上，自动控制系统在正常情况下都处于一个稳定的工作状态，即平衡状态，这时被控量与期望值保持一致，控制系统也不进行控制动作。一旦被控量偏离期望值产生偏差时，控制系统便开始控制动作，以便减小这个偏差。因此控制系统中被控量的偏差一般不会很大，只是“小偏差”。



## § 2-3 拉普拉斯变换(Laplace transformation)

$f(t)$ 的拉普拉斯变换被定义为:

$$L[f(t)] = F(s) = \int_0^{\infty} e^{-st} dt [f(t)] = \int_0^{\infty} f(t) e^{-st} dt$$

$f(t)$  = 时间 $t$ 的函数, 并且当 $t < 0$ 时  $f(t) = 0$

$s$  = 复变数;

$L$  = 运算符号, 放在某量之前, 表示该量用拉普拉斯积分  $\int_0^{\infty} e^{-st} dt$  进行变换

$F(s)$  是  $f(t)$  的拉普拉斯变换  $F(s) = L[f(t)]$



## 例8 指数函数(Exponential function)

假设函数:  $f(t) = 0 \quad (t < 0)$

$$f(t) = Ae^{-\alpha t} \quad (t \geq 0)$$

式中 $A$ 和 $\alpha$ 是常数, 求 $f(t)$ 的拉普拉斯变换

解:

$$L[f(t)] = \int_0^{\infty} Ae^{-\alpha t} e^{-st} dt = A \int_0^{\infty} e^{-(\alpha+s)t} dt = \frac{A}{s + \alpha}$$

## 例9 幂函数(Power function)

假设函数:  $f(t) = t^n \cdot 1(t)$

求 $f(t)$ 的拉普拉斯变换

$$\begin{aligned}\text{解: } L[f(t)] &= \int_{0^-}^{\infty} t^n \cdot 1(t) \cdot e^{-st} dt = -\frac{1}{s} \int_{0^-}^{\infty} t^n de^{-st} \\ &= -\frac{1}{s} t^n e^{-st} \Big|_{0^-}^{\infty} + \frac{1}{s} \int_{0^-}^{\infty} e^{-st} dt^n = \frac{n}{s} \int_{0^-}^{\infty} t^{n-1} e^{-st} dt \\ &\dots \\ &= \frac{n!}{s} \int_{0^-}^{\infty} 1 \cdot e^{-st} dt = \frac{n!}{s^{n+1}}\end{aligned}$$


## 例10 阶跃函数(Step function)

假设阶跃函数:  $f(t) = 0 \quad (t < 0)$

$$f(t) = A = \text{常数} \quad (t > 0)$$

求 $f(t)$ 的拉普拉斯变换

解: 此阶跃函数在 $s=0$ 处是不确定的, 因此求


$$\int_{0-}^{0+} A e^{-st} dt = 0$$

$$L[f(t)] = \int_0^{\infty} A e^{-st} dt = \frac{A}{s}$$

定义: 高度为1的阶跃函数叫做单位阶跃函数。

单位阶跃函数的拉普拉斯变换是  $L[1(t)] = \frac{1}{s}$



## 例11 斜坡函数(Ramp function)

斜坡函数:  $f(t) = 0 \quad (t < 0)$

$$f(t) = At \quad (t \geq 0)$$

式中 $A$ 是一个常数, 求 $f(t)$ 的拉普拉斯变换

解:  $L[f(t)] = A \int_0^{\infty} t e^{-st} dt$

$$= At \frac{e^{-st}}{-s} \Big|_0^{\infty} - \int_0^{\infty} \frac{Ae^{-st}}{-s} dt$$

$$= \frac{A}{s} \int_0^{\infty} e^{-st} dt$$

$$= \frac{A}{s^2}$$

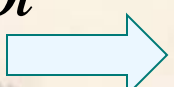
## 例12 正弦函数(Sine function)

正弦函数:  $f(t) = 0 \quad (t < 0)$

$$f(t) = A \sin \omega t \quad (t \geq 0)$$

式中 $A$ 和 $\omega$ 是一个常数, 求 $f(t)$ 的拉普拉斯变换

解:  $L[f(t)] = A \int_0^{\infty} (\sin \omega t) e^{-st} dt$

因为  $e^{j\omega t} = \cos \omega t + j \sin \omega t$   
 $e^{-j\omega t} = \cos \omega t - j \sin \omega t$    $\sin \omega t = \frac{1}{2j} (e^{j\omega t} - e^{-j\omega t})$

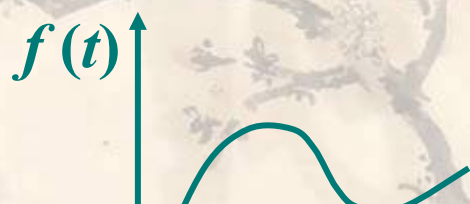
所以  $L[f(t)] = \frac{A}{2j} \int_0^{\infty} (e^{j\omega t} - e^{-j\omega t}) e^{-st} dt$

$$= \frac{A}{2j} \frac{1}{s - j\omega} - \frac{A}{2j} \frac{1}{s + j\omega}$$

$$= \frac{A\omega}{s^2 + \omega^2}$$

# 拉普拉斯变换定理

平移函数：求平移函数 $f(t-\alpha)$ 的拉普拉斯变换。  
假设当 $t < 0$ 时 $f(t) = 0$ ，或当 $t < \alpha$ 时 $f(t-\alpha) = 0$ 。函数 $f(t)$ 和 $f(t-\alpha)$ 的曲线如下图所示：



方程说明时间函数 $f(t)$ 通过 $\alpha$ 的平移相当于拉普拉斯变换 $F(s)$ 与 $e^{-\alpha s}$ 相乘。

当  
 $F(s)$   
式中

$$t - \alpha = \tau$$


$$L[f(t-\alpha)] = \int_0^{\infty} f(t-\alpha)e^{-st} dt = e^{-\alpha s} F(s)$$




## 例13 脉动函数 (Fluctuation function)

脉动函数:  $f(t) = A = \text{常数}$  ( $0 < t < t_0$ )

$$f(t) = 0 \quad (t < 0, t_0 < t)$$

求 $f(t)$ 的拉普拉斯变换

解: 脉动函数 $f(t)$ 可以看作是一个从 $t=0$ 开始的高度为 $A$ 的阶跃函数, 再叠加一个从 $t=t_0$ 开始的高度为 $A$ 的负的阶跃函数, 即


$$f(t) = A1(t) - A1(t - t_0)$$

$$L[f(t)] = L[A1(t)] - L[A1(t - t_0)] = \frac{A}{s} - \frac{A}{s}e^{-t_0s}$$

$$= \frac{A}{s}(1 - e^{-t_0s})$$

## 例14 脉冲函数 (Pulse function)

$$\text{脉冲函数: } f(t) = \lim_{t_0 \rightarrow 0} \frac{A}{t_0} \quad (0 < t < t_0)$$

$$f(t) = 0 \quad (t < 0, \text{ 或 } t > t_0)$$

求  $f(t)$  的拉普拉斯变换

解: 
$$L[f(t)] = \lim_{t_0 \rightarrow 0} \frac{A}{t_0 s} (1 - e^{-t_0 s}) = \lim_{t_0 \rightarrow 0} \frac{\frac{d}{dt_0} [A(1 - e^{-t_0 s})]}{\frac{d}{dt_0} (t_0 s)} = \frac{As}{s} = A$$

定义: 面积等于1的脉冲函数叫做单位脉冲函数。在  $t = t_0$  处的单位脉冲函数通常用  $\delta(t - t_0)$  来表示, 并满足下列条件:

$$\delta(t - t_0) = 0 \quad (t \neq t_0)$$

$$\delta(t - t_0) = \infty \quad (t = t_0)$$

$$\int_{-\infty}^{\infty} \delta(t - t_0) dt = 1$$



# 微分定理(Differentiation theorem)

函数  $f(t)$  的导数的拉普拉斯变换为

$$L\left[\frac{d}{dt} f(t)\right] = sF(s) - f(0)$$

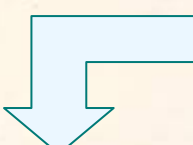
式中  $f(0)$  是  $f(t)$  在  $t=0$  处的初始值。

注意：如果  $f(t)$  在  $t=0$  处  $f(0+) \neq f(0-)$ ，则需要对上述方程进行修正，结果为：

$$L_+\left[\frac{d}{dt} f(t)\right] = sF(s) - f(0+) \quad L_-\left[\frac{d}{dt} f(t)\right] = sF(s) - f(0-)$$

证明：

$$\int_0^{\infty} f(t) e^{-st} dt = f(t) \frac{e^{-st}}{-s} \Big|_0^{\infty} - \int_0^{\infty} \left[ \frac{d}{dt} f(t) \right] \frac{e^{-st}}{-s} dt$$


$$F(s) = \frac{f(0)}{s} + \frac{1}{s} L\left[\frac{d}{dt} f(t)\right] \Rightarrow L\left[\frac{d}{dt} f(t)\right] = sF(s) - f(0)$$



## 例15 余弦函数 (Cosine function)


余弦函数:  $g(t) = 0 \quad (t < 0)$

$$g(t) = A \cos \omega t \quad (t \geq 0)$$

式中 $A$ 和 $\omega$ 是一个常数, 求 $g(t)$ 的拉普拉斯变换

解: 假定正弦函数:  $f(t) = 0 \quad (t < 0)$

$$f(t) = \sin \omega t \quad (t \geq 0)$$

$$F(s) = L[\sin \omega t] = \frac{\omega}{s^2 + \omega^2}$$


余弦函数拉普拉斯变换为:

$$\begin{aligned} L[A \cos \omega t] &= L\left[\frac{d}{dt} \frac{A}{\omega} \sin \omega t\right] = \frac{A}{\omega} [sF(s) - f(0)] \\ &= \frac{A}{\omega} \left( \frac{s\omega}{s^2 + \omega^2} - 0 \right) = \frac{As}{s^2 + \omega^2} \end{aligned}$$

# 终值定理(Final-value theorem)

假设  $f(t)$  和  $df(t)/dt$  可以进行拉普拉斯变换,  $\lim_{t \rightarrow \infty} f(t)$  存在. 并且除在原点外唯一的极点外,  $sF(s)$  在右半平面没有极点.

注意: 当  $f(t)$  是正弦函数  $\sin \omega t$  时,  $sF(s)$  在  $s = \pm j\omega$  处有极点, 并且  $\lim_{t \rightarrow \infty} f(t)$  不存在, 因此, 对于这样的函数此定理无效。如果当  $t$  趋近于无穷大时,  $f(t)$  也趋近于无穷大, 则  $\lim_{t \rightarrow \infty} f(t)$  不存在, 终值定理同样不适用。

$$= \lim_{s \rightarrow 0} sF(s) - f(0)$$

$$f(\infty) = \lim_{t \rightarrow \infty} f(t) = \lim_{s \rightarrow 0} sF(s)$$

# 初值定理(Initial-value theorem)

如果  $f(t)$  和  $df(t)/dt$  不但可以拉普拉斯变换，而且

$\lim_{s \rightarrow \infty} sF(s)$  存在，则  $f(0+) = \lim_{s \rightarrow \infty} sF(s)$

证明：运用  $df(t)/dt$  的  $L_+$  变换的方程式，即

$$L_+ \left[ \frac{d}{dt} f(t) \right] = sF(s) - f(0+)$$

对于  $0+ \leq t \leq \infty$  的时间间隔，当  $s$  趋近于无穷大时， $e^{-st}$  趋近于零。因此

$$\lim_{s \rightarrow \infty} \int_{0+}^{\infty} \left[ \frac{d}{dt} f(t) \right] e^{-st} dt = 0$$

$$\lim_{s \rightarrow \infty} sF(s) - f(0+) = 0$$



# 积分定理(Integral theorem)

$f(t)$ 的积分的拉普拉斯变换为

$$L\left[\int f(t)dt\right] = \frac{F(s)}{s} + \frac{f^{-1}(0)}{s}$$

式中  $f^{-1}(0) = \int f(t)dt$  在  $t=0$  处的值。

注意：如果  $f(t)$  在  $t=0$  处包含一个脉冲函数，那么  $f^{-1}(0+) \neq f^{-1}(0-)$ ，则需要对上述方程进行修正。

$$L_+\left[\int f(t)dt\right] = \frac{F(s)}{s} + \frac{f^{-1}(0+)}{s} \quad L_-\left[\int f(t)dt\right] = \frac{F(s)}{s} + \frac{f^{-1}(0-)}{s}$$

证明：

$$\begin{aligned} L\left[\int f(t)dt\right] &= \int_0^\infty \left[\int f(t)dt\right] e^{-st} dt = \left[\int f(t)dt\right] \frac{e^{-st}}{-s} \Big|_0^\infty - \int_0^\infty f(t)dt \frac{e^{-st}}{-s} \\ &= \frac{1}{s} \int f(t)dt \Big|_{t=0} + \frac{1}{s} \int_0^\infty f(t) e^{-st} dt = \frac{f^{-1}(0)}{s} + \frac{F(s)}{s} \end{aligned}$$

# 拉普拉斯反变换

## (Inverse Laplace transform)

由复变数表达式推导成时间表达式的数学运算叫做反变换，拉普拉斯反变换的符号是  $L^{-1}$ ，因而

$$L^{-1}[F(s)] = f(t)$$

## 拉氏反变换的求法

- 部分分式展开法
- 只包含不相同的极点的  $F(s)$  的部分分式展开式
- 包含多重极点的  $F(s)$  的部分分式展开式



## 部分分式展开法

如果 $f(t)$ 的拉普拉斯变换 $F(s)$ 已分解成为下列分量:

$$F(s) = F_1(s) + F_2(s) + \cdots + F_n(s)$$

假定 $F_1(s), F_2(s), \cdots, F_n(s)$ 的拉氏反变换很容易地求出, 那么

$$\begin{aligned} \mathcal{L}^{-1}[F(s)] &= \mathcal{L}^{-1}[F_1(s)] + \mathcal{L}^{-1}[F_2(s)] + \cdots + \mathcal{L}^{-1}[F_n(s)] \\ &= f_1(t) + f_2(t) + \cdots + f_n(t) \end{aligned}$$

式中 $f_1(t), f_2(t), \cdots, f_n(t)$ 分别为 $F_1(s), F_2(s), \cdots, F_n(s)$ 的拉氏反变换。



对于控制理论的问题， $F(s)$ 常常是如下形式：

$$F(s) = \frac{B(s)}{A(s)}$$

式中 $A(s)$ ,  $B(s)$ 是 $s$ 的多项式，而且 $B(s)$ 的阶次不高于 $A(s)$ 的阶次。

在应用部分分式展开法求拉氏反变换时，必须预先知道多项式 $A(s)$ 的根。

这种方法的优点是由于 $F(s)$ 被展开成了部分分式的形式，而使 $F(s)$ 的每一项都是 $s$ 的简单函数，因此，如果我们记住了几种简单函数的拉氏变换，就不需要查拉氏变换表。

# 只包含不相同的极点的 $F(s)$ 的部分分式展开式

在这种情况下， $F(s)$ 总是能展开成下面的简单部分分式的和：

$$F(s) = \frac{B(s)}{A(s)} = \frac{a_1}{s + p_1} + \frac{a_2}{s + p_2} + \cdots + \frac{a_n}{s + p_n}$$

这里可以看出，所有被展开项除 $a_k$ 项外全都没有了

式中 $a_k$ 是常数， $a_k$ 叫做 $s = -p_k$ 极点处的留数。 $a_k$ 的值可用 $(s + p_k)$ 乘以上方程的右边，并令 $s = -p_k$ 的方法求出。

$$\left[ \frac{B(s)}{A(s)} (s + p_k) \right]_{s=-p_k} = \left[ \frac{a_1}{s + p_1} (s + p_k) + \frac{a_2}{s + p_2} (s + p_k) + \cdots + \frac{a_k}{s + p_k} (s + p_k) + \cdots + \frac{a_n}{s + p_n} (s + p_k) \right]_{s=-p_k} = a_k$$



于是，留数 $a_k$ 由下式求出。

$$a_k = \left[ \frac{B(s)}{A(s)} (s + p_k) \right]_{s=-p_k}$$

必须注意，因为 $f(t)$ 是一个时间的实函数，如果 $p_1$ 和 $p_2$ 是共轭复数，那么留数 $a_1$ 和 $a_2$ 也是共轭复数，这样就只需对共轭的 $a_1$ 和 $a_2$ 求出任何一个值，另一个自然也就知道了

因为 
$$\mathcal{L}^{-1} \left[ \frac{a_k}{s + p_k} \right] = a_k e^{-p_k t}$$

所以 
$$f(t) = a_1 e^{-p_1 t} + a_2 e^{-p_2 t} + \cdots + a_n e^{-p_n t} \quad (t \geq 0)$$



## 例16 求下式的拉氏反变换

$$F(s) = \frac{s+3}{(s+1)(s+2)}$$

解：  $F(s)$  的部分分式展开式是

$$F(s) = \frac{s+3}{(s+1)(s+2)} = \frac{a_1}{(s+1)} + \frac{a_2}{(s+2)}$$

求出留数  $a_1, a_2$

$$a_1 = \left[ \frac{s+3}{(s+1)(s+2)} (s+1) \right]_{s=-1} = 2$$

$$a_2 = \left[ \frac{s+3}{(s+1)(s+2)} (s+2) \right]_{s=-2} = -1$$

于是：

$$\begin{aligned}f(t) &= \mathcal{L}^{-1}[F(s)] \\&= \mathcal{L}^{-1}\left[\frac{2}{s+1}\right] + \mathcal{L}^{-1}\left[\frac{-1}{s+2}\right] \\&= 2e^{-t} - e^{-2t} \quad (t \geq 0)\end{aligned}$$

## 例17 求下式的拉氏反变换

$$G(s) = \frac{s^3 + 5s^2 + 9s + 7}{(s+1)(s+2)}$$

解：用分母除分子得到：

$$G(s) = s + 2 + \frac{s+3}{(s+1)(s+2)}$$

等式右侧第三项同例题1中的解。单位脉冲函数  $\delta(t)$  的拉式变换是1，而  $d\delta(t)/dt$  的拉式变换是s，于是得到传递函数的拉式反变换为：

$$g(t) = \frac{d}{dt}\delta(t) + 2\delta(t) + 2e^{-t} - e^{-2t} \quad (t \geq 0-)$$



## 包含多重极点的 $F(s)$ 部分分式展开式

例18 求下列函数的拉氏反变换

$$F(s) = \frac{s^2 + 2s + 3}{(s + 1)^3}$$

解：将上式展成部分分式得

$$F(s) = \frac{B(s)}{A(s)} = \frac{b_3}{(s + 1)^3} + \frac{b_2}{(s + 1)^2} + \frac{b_1}{s + 1}$$

式中  $b_3$ ,  $b_2$ ,  $b_1$  确定如下：

$$b_3 = \left[ \frac{B(s)}{A(s)} (s + 1)^3 \right]_{s=-1} = (s^2 + 2s + 3)_{s=-1} = 2$$

$$b_2 = \left\{ \frac{d}{ds} \left[ \frac{B(s)}{A(s)} (s+1)^3 \right] \right\}_{s=-1} = \left[ \frac{d}{ds} (s^2 + 2s + 3) \right]_{s=-1}$$

$$= (2s + 2)_{s=-1} = 0$$

$$b_1 = \frac{1}{(3-1)!} \left\{ \frac{d^2}{ds^2} \left[ \frac{B(s)}{A(s)} (s+1)^3 \right] \right\}_{s=-1} = \frac{1}{2!} \left[ \frac{d^2}{ds^2} (s^2 + 2s + 3) \right]_{s=-1}$$

$$= \frac{1}{2} (2) = 1$$

于是得到:  $f(t) = \mathcal{L}^{-1}[F(s)]$

$$= \mathcal{L}^{-1} \left[ \frac{2}{(s+1)^3} \right] + \mathcal{L}^{-1} \left[ \frac{1}{s+1} \right]$$

$$= (t^2 + 1)e^{-t} \quad (t \geq 0)$$

## § 2-4 控制系统的传递函数描述 (Transfer Function description)

### 一、传递函数的概念

**RC电路如下：** 根据基尔霍夫定律，列写微分方程

$$\begin{cases} Ri(t) + u_c(t) = u_r(t) \\ u_c(t) = \frac{1}{C} \int i(t) dt \end{cases} \rightarrow RC \frac{du_c(t)}{dt} + u_c(t) = u_r(t)$$

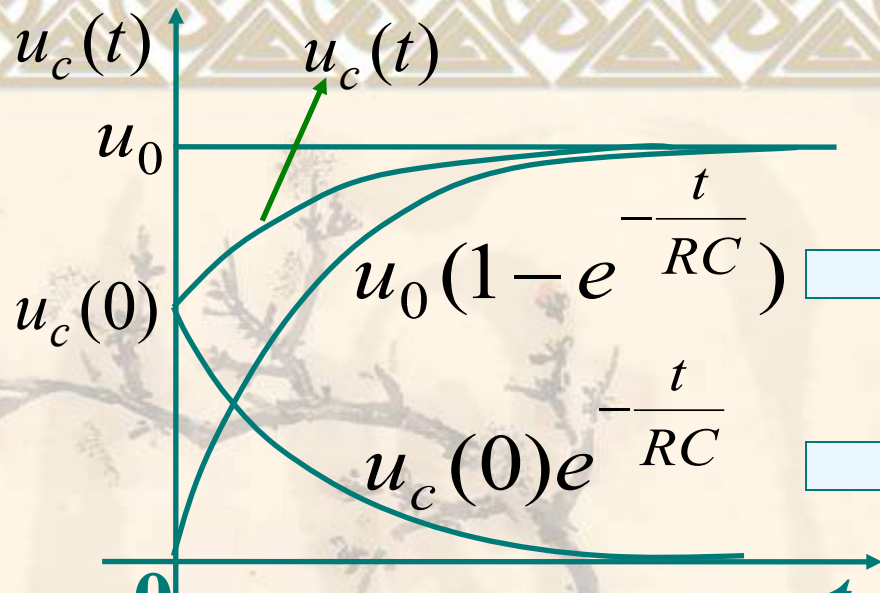
**拉氏变换：**  $RCsU_c(s) - RCu_c(0) + U_c(s) = U_r(s)$

$$U_c(s) = \frac{1}{RCs + 1} U_r(s) + \frac{RC}{RCs + 1} u_c(0)$$

当输入为阶跃电压  $u_r(t) = u_0 \cdot \frac{1(t)}{t}$  时，对  $U_c(s)$  求拉氏反变换：

$$u_c(t) = u_0(1 - e^{-\frac{t}{RC}}) + u_c(0)e^{-\frac{t}{RC}}$$



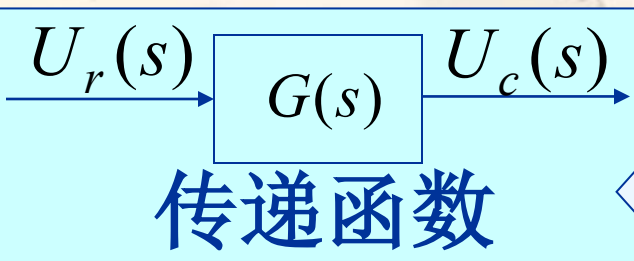


零状态响应，由  
输入电压决定

零输入响应，由  
初始电压决定

传递函数  $G(s)$  确立了电路输入  
电压与输出电压之间的关系

或 
$$G(s) = \frac{U_c(s)}{U_r(s)} = \frac{1}{RCs + 1} = \frac{1}{Ts + 1} \quad \text{式中 } T=RC$$



传递函数

- 方框内为传递函数
- 进入和离开方框的箭头分别表示为输入信号和输出信号

线性(或线性化)定常系统在零初始条件下，  
输出量的拉氏变换与输入量的拉氏变换之比  
称为传递函数(Transfer function)。

线性定常系统由下述 $n$ 阶微分方程描述：当初始条件为零时，进行拉氏变换，得到关于 $s$ 的代数方程

$$[a_n s^n + a_{n-1} s^{n-1} + \dots + a_1 s + a_0] C(s) = [b_m s^m + b_{m-1} s^{m-1} + \dots + b_1 s + b_0] R(s)$$

$D(s)$ 为传递函数的分母多项式。

$$G(s) = \frac{C(s)}{R(s)} = \frac{b_m s^m + b_{m-1} s^{m-1} + \dots + b_1 s + b_0}{a_n s^n + a_{n-1} s^{n-1} + \dots + a_1 s + a_0}$$

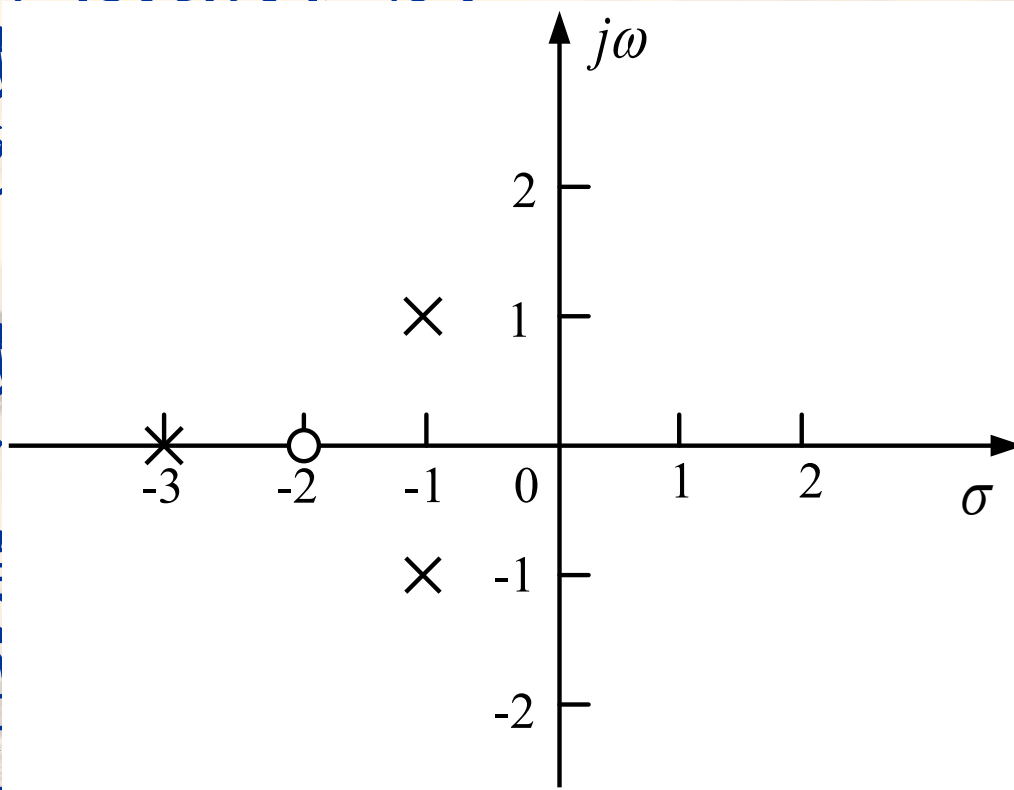
$C(s)$ 是系统输出量； $R(s)$ 是系统输入量  
是与系统结构参数有关的常系数

## 二、传递函数的性质

1. 传递函数的阶数，即  $m \leq n$ ，

2. 传递函数的数，与外

3. 一定的传  
与之对应  
图也表征



数，分  
数  $n$ ，

和参

布图  
点分布

例如： $G(s) = \frac{C(s)}{R(s)} = \frac{k}{(s^0 + p_1)(s + p_2) \cdots (s + p_n)}$  称为传递系数；  
静态放大系数。

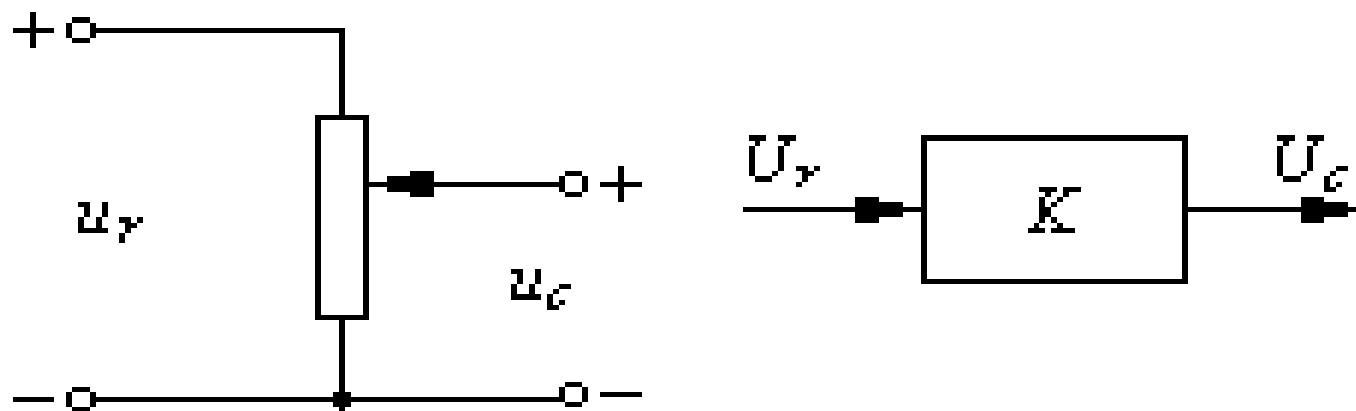
5. 一个传递函数只能表示函数的输入对  $m$  个输出的函数关系。  
——传递函数的极点，  $n$  个



### 三、典型环节及其传递函数

#### (一) 比例环节 (Proportional factor)

$$G(s) = K$$



比例环节：(a)

(b)

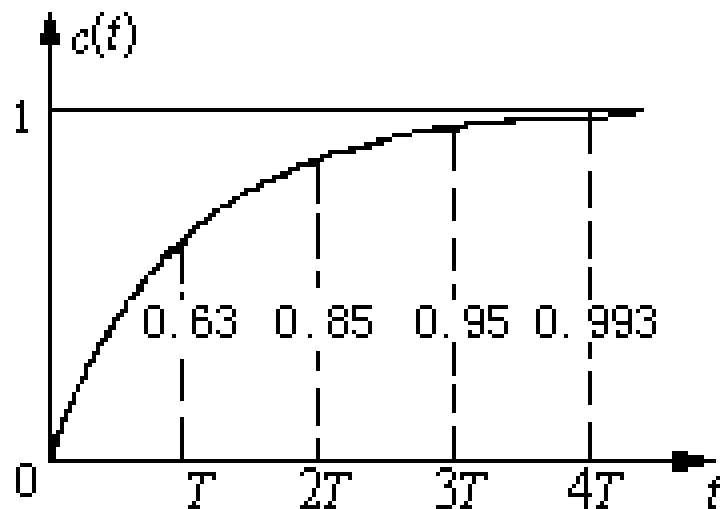
表明输出量与输入量成正比。无弹性变形的杠杆、不计非线性和惯性的电子放大器、测速电机都可认为是比例环节。

## (二) 惯性环节 (First-Order factor)

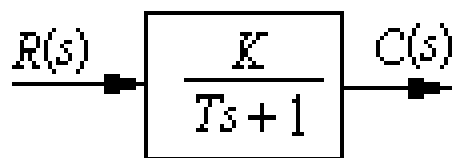
$$G(s) = \frac{K}{Ts + 1}$$

式中  $K$ —环节的比例系数

$T$ —环节的时间常数



(a) 单位阶跃响应曲线



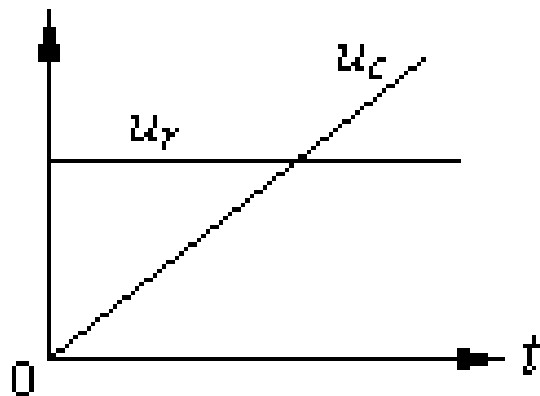
(b) 方框图

当环节的输入量为单位阶跃函数时，环节的输出量将按指数曲线上升，具有惯性， $R$ - $C$ 回路、 $R$ - $L$ 回路等都可看做惯性环节。

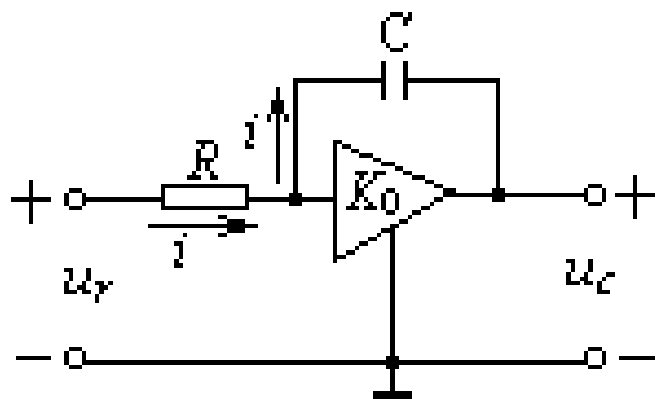
### (三) 积分环节 (Integral factor)

$$G(s) = \frac{1}{Ts}$$

当积分环节的输入信号为单位阶跃函数时，则输出为 $t/T$ ，它随着时间直线增长。如图(a)所示：



(a) 阶跃响应曲线



(b) 线路图

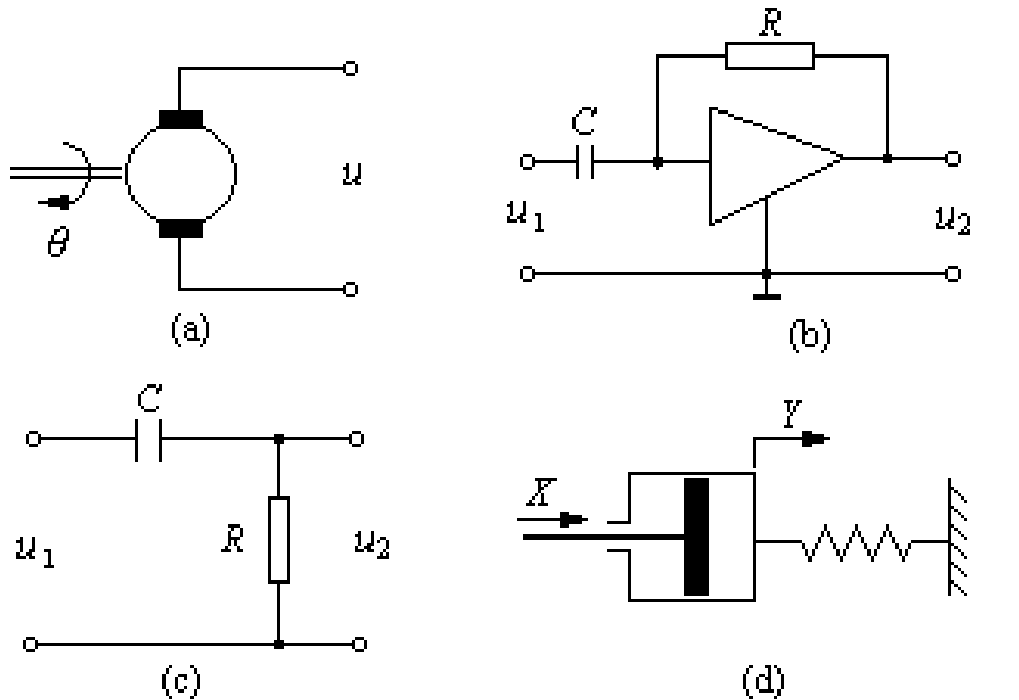
图(b)为控制系统中经常用到的积分控制器。积分时间常数为 $RC$



## (四) 微分环节 (Derivative factor)

$$G(s) = Ts \quad (\text{理想微分环节})$$

$$G(s) = \frac{T_1 s}{T_2 s + 1} \quad (\text{实际微分环节})$$



(a)测速电机与(b)微分运算放大器为理想微分环节;

(c)和(d)实际微分环节

## (五) 振荡环节 (Quadratic factor)

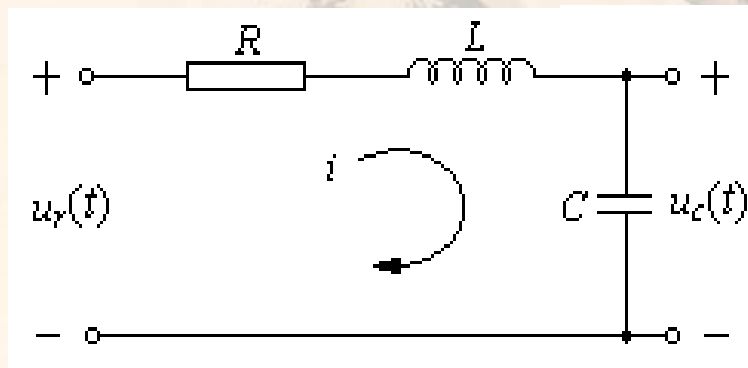
单位阶跃函数作用下的传递函数:

$$G(s) = \frac{\omega_n^2}{s^2 + 2\omega_n\zeta s + \omega_n^2}$$

式中:  $\omega_n$ —无阻尼自然振荡频率;

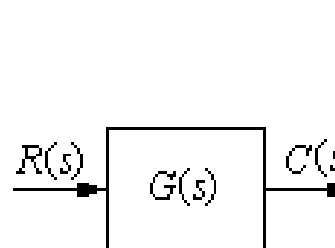
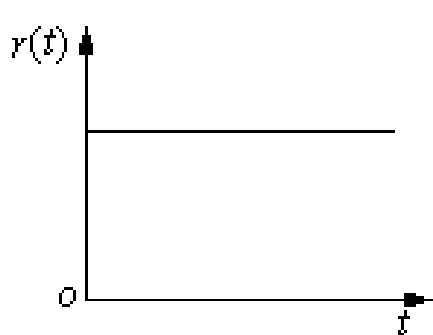
$\zeta$ ——阻尼比,  $0 < \zeta < 1$ 。

单位阶跃函数作用下的响应曲线:



振荡环节实际上是一个二阶系统。如左图所示的 $R-L-C$ 电路,从传递函数的特性来看就是振荡环节。

## (六) 延滞环节 (Delay factor) $G(s) = e^{-\tau s}$



延滞环节是线性环节， $\tau$  称为延滞时间（又称死时）。具有延滞环节的系统叫做延滞系统。

延滞环节的传递函数

$$\begin{aligned} C(s) &= \int_0^{\infty} r(t-\tau) e^{-st} dt = \int_0^{\infty} r(\xi) e^{-s(\xi+\tau)} d\xi \\ &= e^{-\tau s} R(s) \end{aligned}$$

式中  $\xi = t - \tau$ ，所以延滞环节的传递函数为：  
 $G(s) = e^{-\tau s}$  系统具有延滞环节对系统的稳定性不利，延滞越大，影响越大。



## § 2-5 控制系统结构图

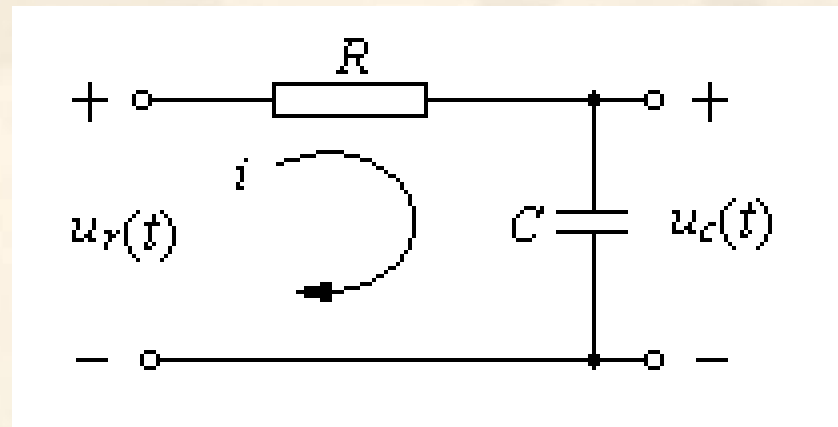
(Block Diagram Chart and Signal-flow graph)

### 一、控制系统的结构图

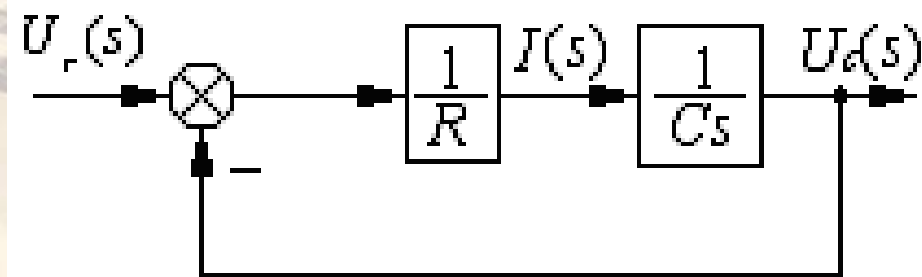
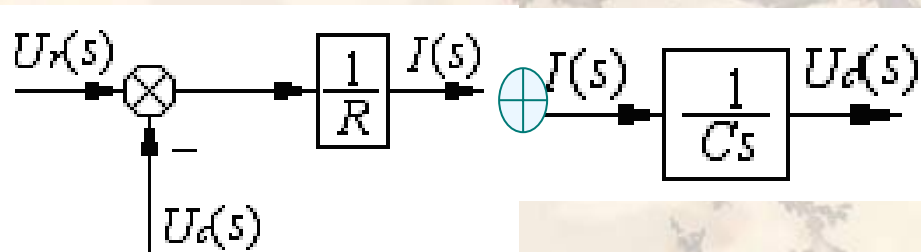
#### (一) 结构图的概念

$RC$ 网络的微分方程式为

$$\begin{cases} u_r - u_c = Ri \\ u_c = \frac{1}{C} \int i dt \end{cases}$$



拉氏变换  $\begin{cases} U_r(s) - U_c(s) = RI(s) \\ U_c(s) = \frac{1}{Cs} I(s) \end{cases} \Rightarrow \frac{1}{R} [U_r(s) - U_c(s)] = I(s)$



## (二) 系统结构图的建立步骤

- (1) 分析系统各环节物理规律，列写微分方程
- (2) 对每个环节的微分方程进行拉普拉斯变换，得到对应的传递函数
- (3) 按照信号传递方向，把各个环节的方框图连接起来，得到整个系统的动态结构图。一般输入量放在方框的左边，输出框放在方框右边

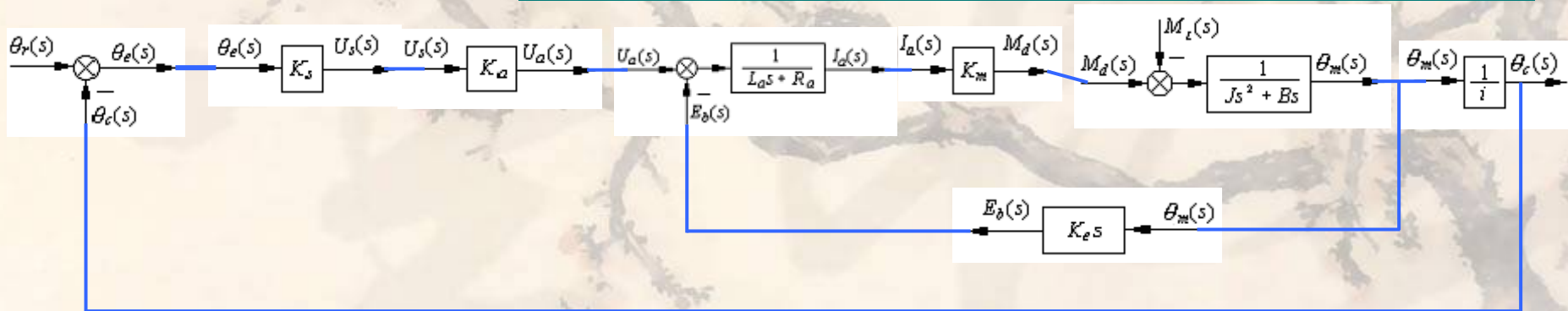
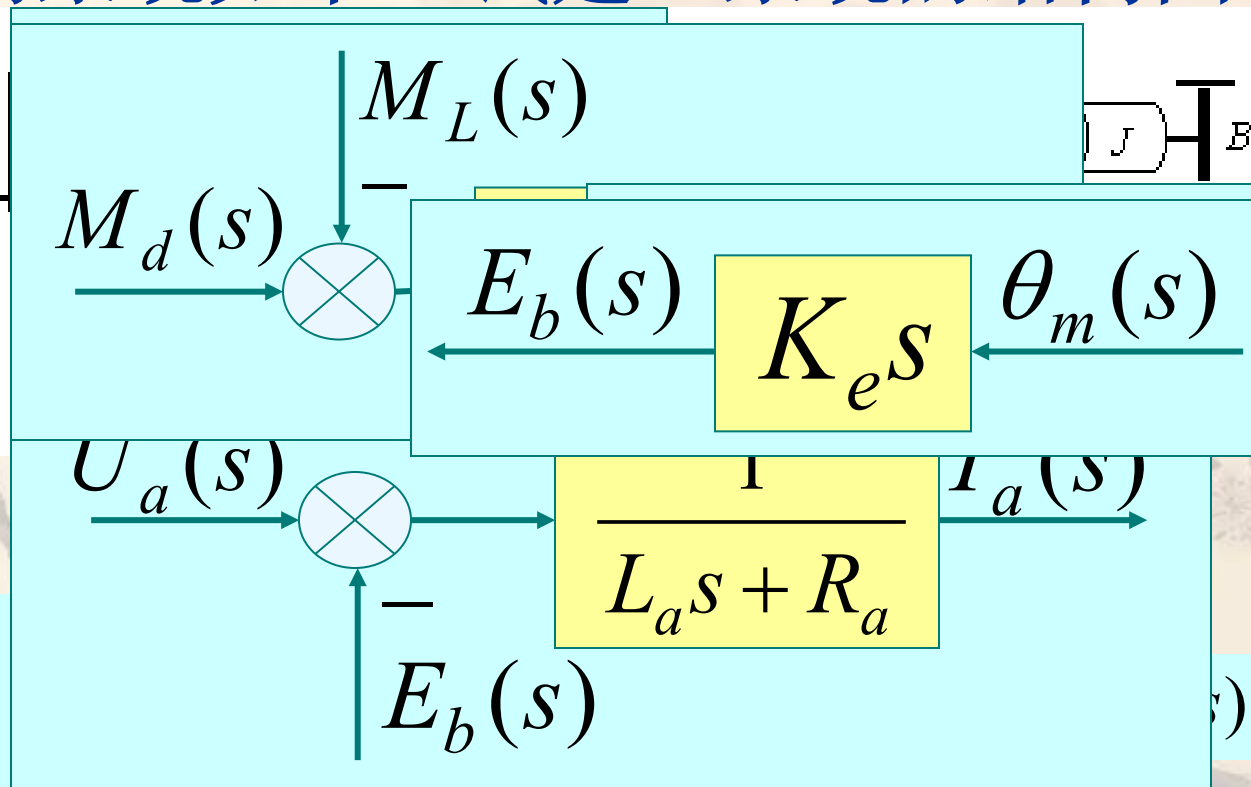
# 例19 位置随动系统如下，试建立系统的结构图

$$\theta_e(s) = \theta_r(s) - \theta_c(s)$$

$$U_s(s) = K_s \theta_e(s)$$

$$U_a(s) = K_a U_s(s)$$

$$I_a(s) = \frac{U_a(s) - E_b(s)}{L_a s + R_a}$$



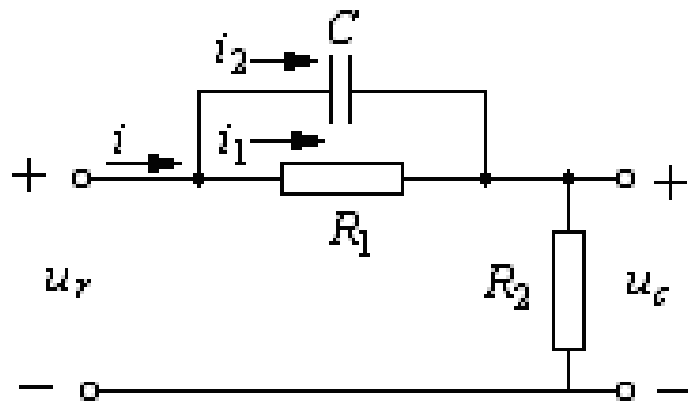


## 例20 试绘制无源网络的结构图

$(u_r - u_c)$  为  $R_1$  与  $C$  并联支路的端电压

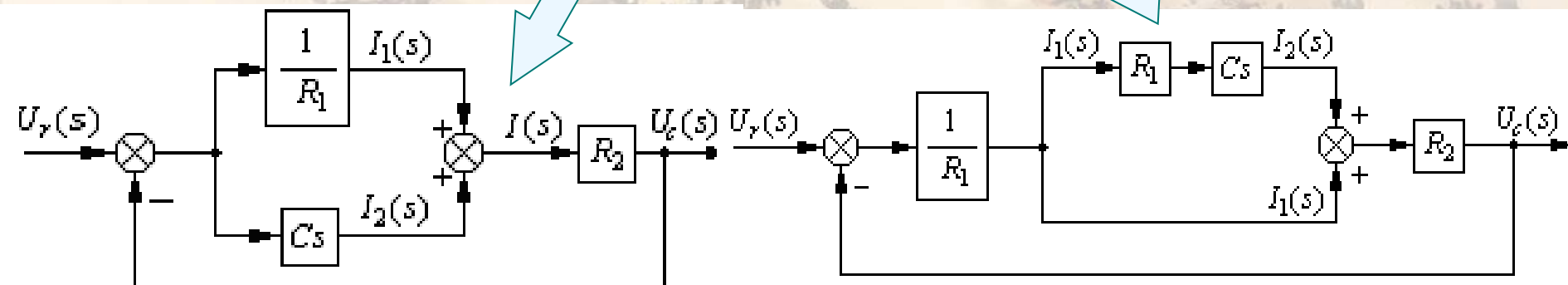
$$i_1 + i_2 = i$$

$$R_2 i = u_c$$



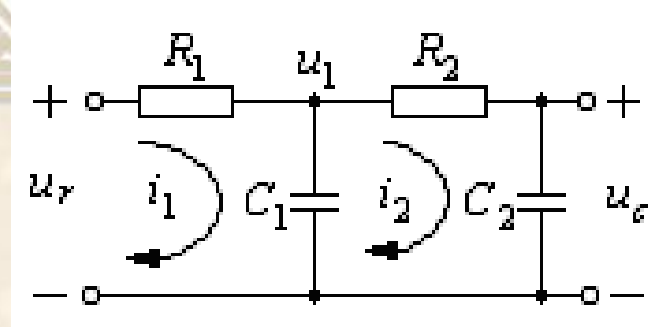
$u_r$  为网络输入  
 $u_c$  为网络输出

直接建立结构图



注意：一个系统或一个环节，其结构图不是唯一的

## 例21 绘制两级RC网络的结构图



(1) 列写原始方程:

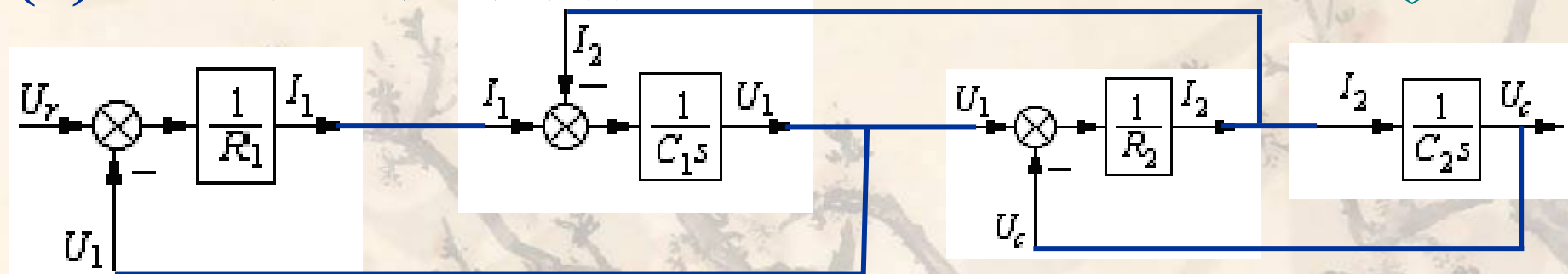
$$U_r(s) - U_1(s) = R_1 I_1(s)$$

$$U_1(s) - U_c(s) = R_2 I_2(s)$$

$$U_1(s) = \frac{1}{C_1 s} [I_1(s) - I_2(s)]$$

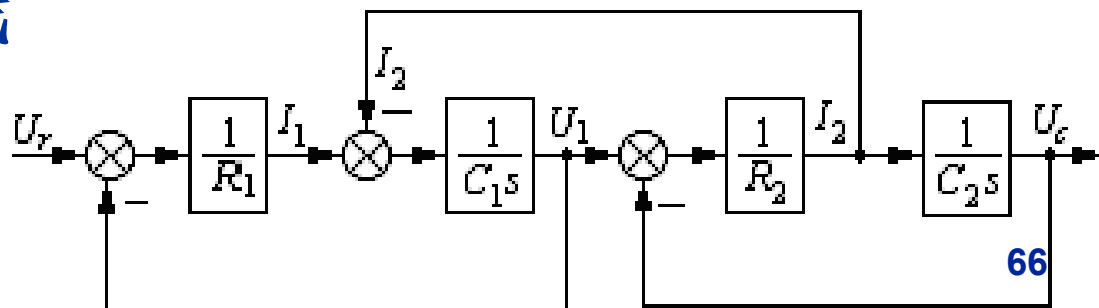
$$U_c(s) = \frac{1}{C_2 s} I_2(s)$$

(2) 画出子方程结构图:



(3) 连接相关信号线

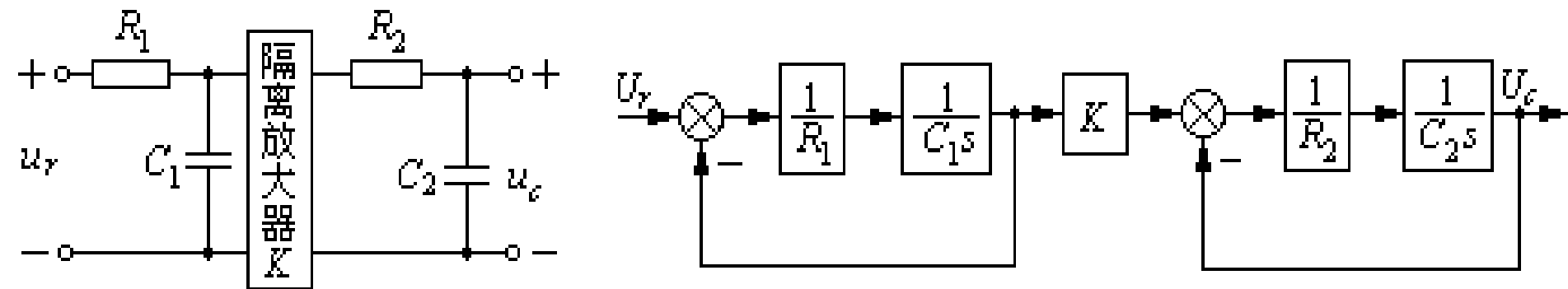
得到最终结构图:



# 负载效应(Loading effect)

后一级网络作为前一级网络的负载，对前级网络的输出电压 $u_1$ 产生影响。

**注意：**此时，不能用两个单独网络结构图的串联表示组合网络的结构图。



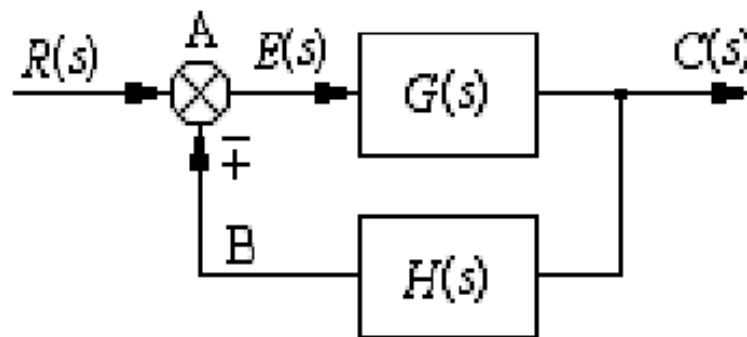
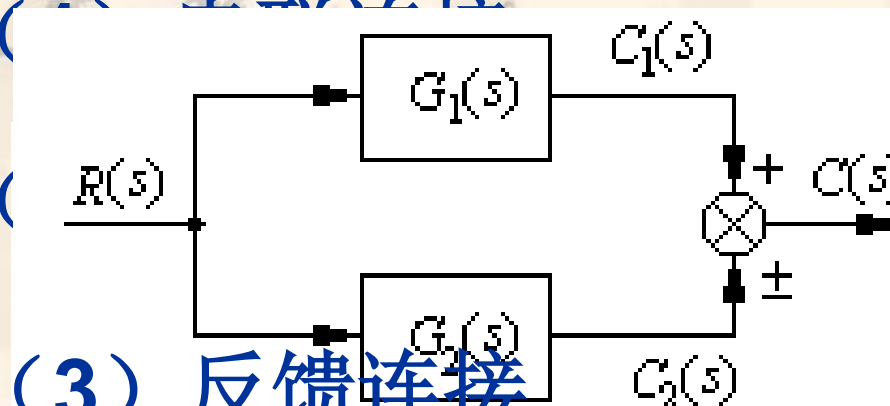
如果在两级网络之间，接入一个输入阻抗很大而输出阻抗很小的隔离放大器，则该电路的结构图就可由两个简单的 $RC$ 网络结构图组成，这时，网络之间的负载效应已被消除。



### (三) 结构图的等效变换

#### 1. 结构图的基本组成形式

(1) 串联连接



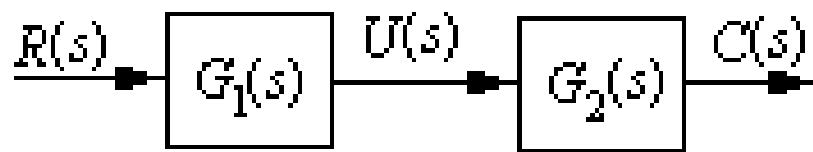
(3) 反馈连接

将一个方框的输出，输入到另一个方框，得到的输出再送回作前馈于前一个方框的输入端，以这种结构称为反馈连接。如图所标。

通过反馈连接的信号取“+”，称为正反馈；取“-”，称为负反馈。负反馈连接是控制系统的基本结构形式。

## 2. 结构图的等效变换法则

### (1) 串联方框的等效变换



(a)



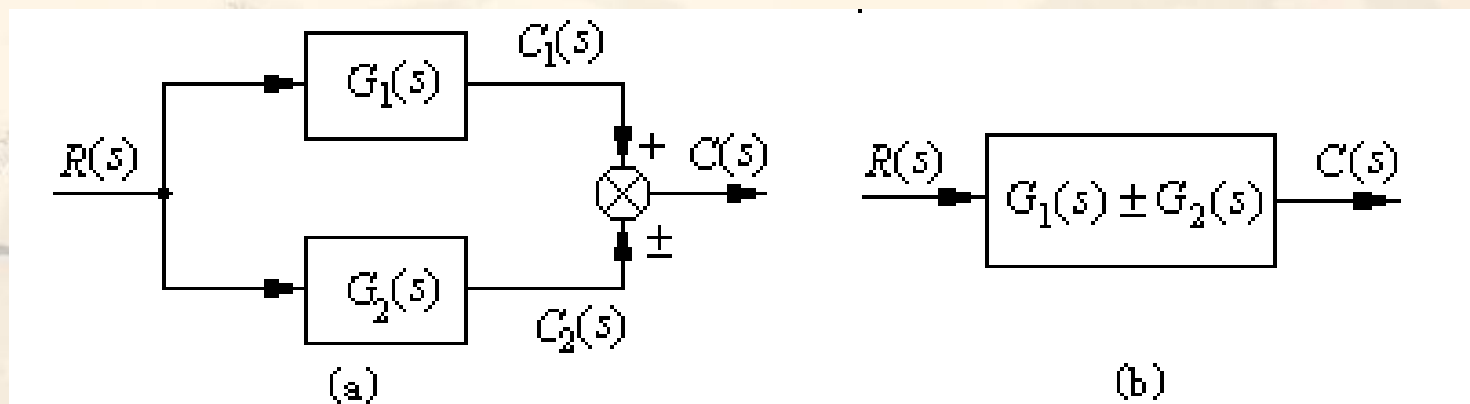
(b)

如图所示：得出

$$\begin{aligned} U(s) &= G_1(s)R(s) & C(s) &= G_1(s)G_2(s)R(s) = G(s)R(s) \\ C(s) &= G_2(s)U(s) & \Rightarrow & G(s) = G_1(s)G_2(s) \end{aligned}$$

结论：串联结构总传递函数等于各个环节传递函数的乘积。

## (2) 并联连接的等效变换



如图所示：得出

$$C_1(s) = G_1(s)R(s)$$



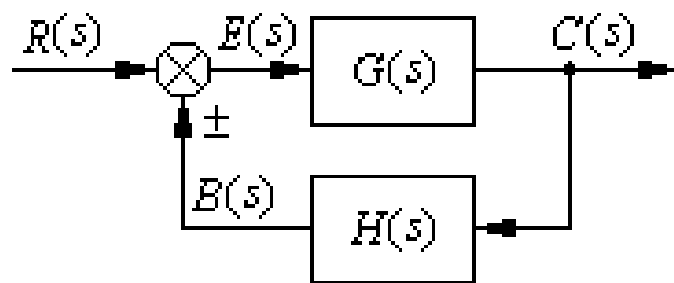
$$C_2(s) = G_2(s)R(s)$$

$$\begin{aligned} C(s) &= G_1(s)R(s) \pm G_2(s)R(s) \longrightarrow G(s) = \frac{C(s)}{R(s)} = G_1(s) \pm G_2(s) \\ &= [G_1(s) \pm G_2(s)]R(s) \end{aligned}$$

结论：并联结构总传递函数等于各个环节传递函数的代数和。



### (3) 反馈连接的等效变换



(a)



(b)

按照信号传递的关系可写出：

消去  $E(s)$  和  $B(s)$ ，得

分母中的加号对应于负反馈；减号对应于正反馈。

$$C(s) = G(s)E(s)$$

$$B(s) = H(s)C(s)$$

$$E(s) = R(s) \pm B(s)$$

$$C(s) = G(s)[R(s) \pm G(s)H(s)C(s)]$$

$$C(s) = G(s)R(s)$$

因此 
$$\frac{C(s)}{R(s)} = \frac{G(s)}{1 \mp G(s)H(s)} = G_B(s)$$

若反馈通路的传递函数  $H(s)=1$ ，常称作单位反馈

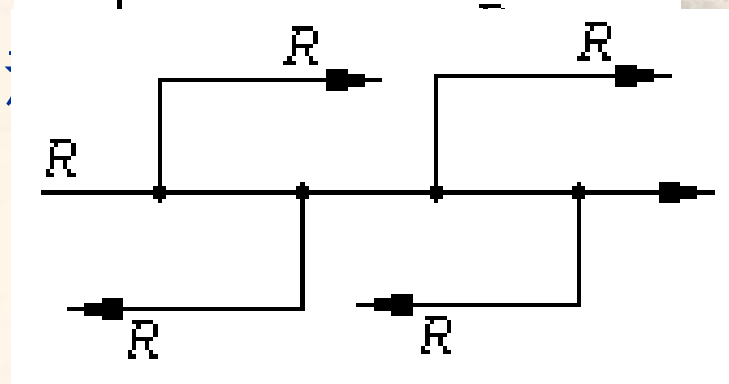
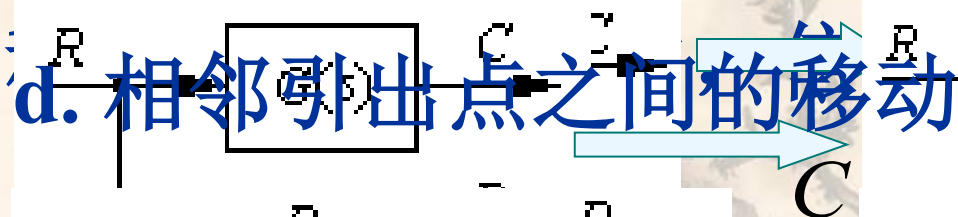
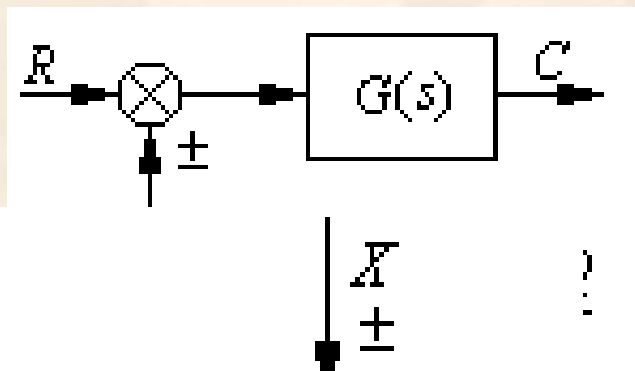
# (4) 综合点与引出点的移动

## a. 综合点前移

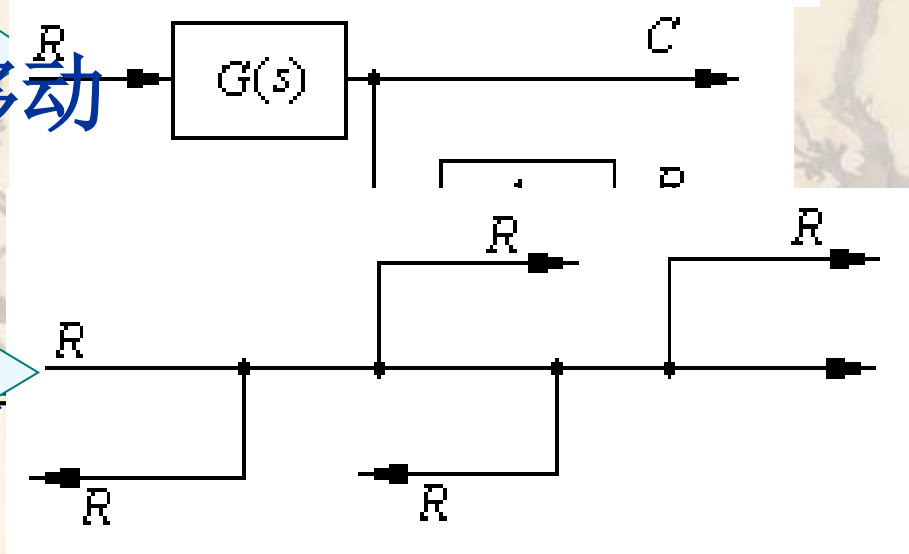
## b. 综合点之间的移动

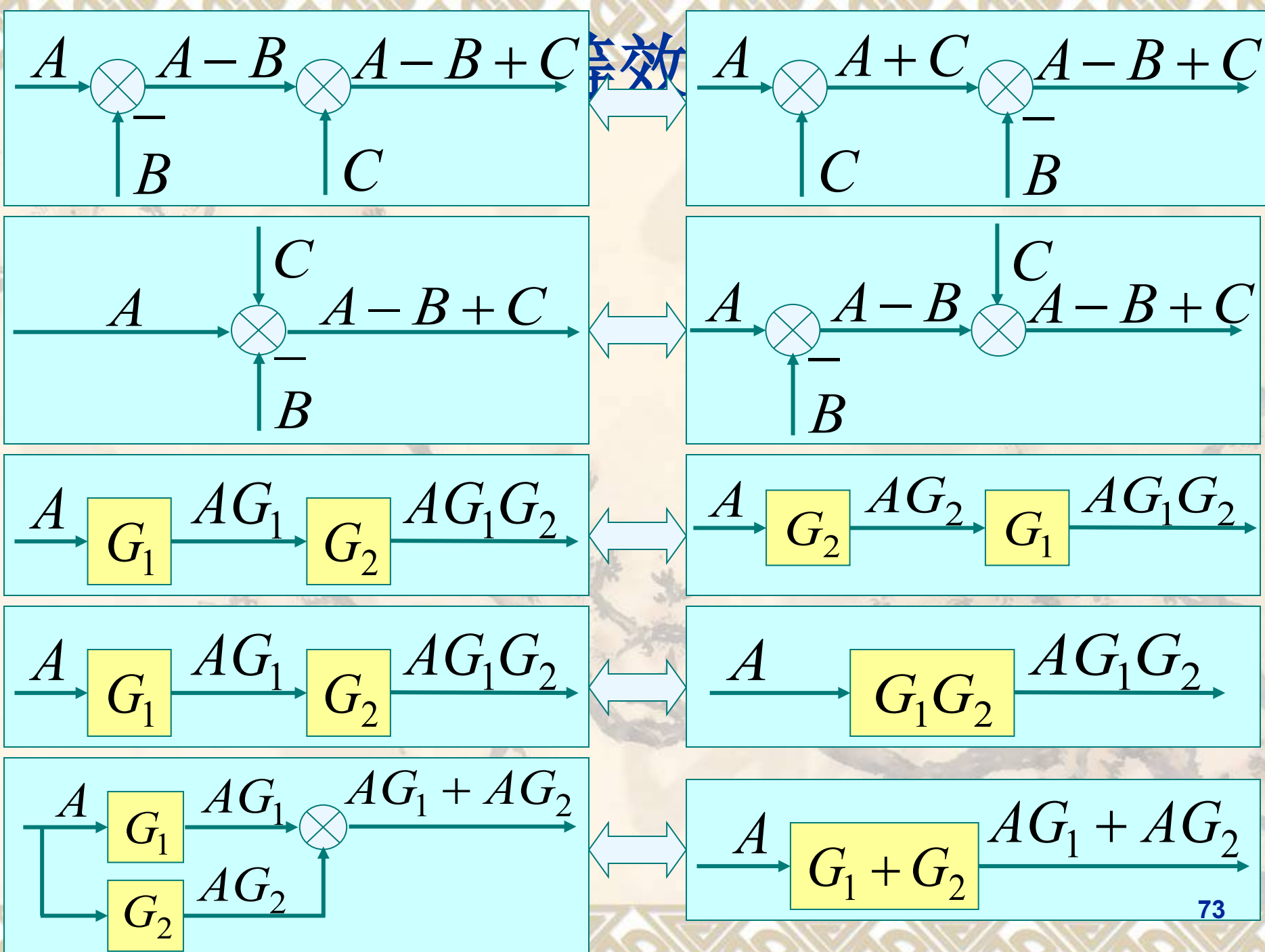
## c. 引出点后移

## d. 相邻引出点之间的移动

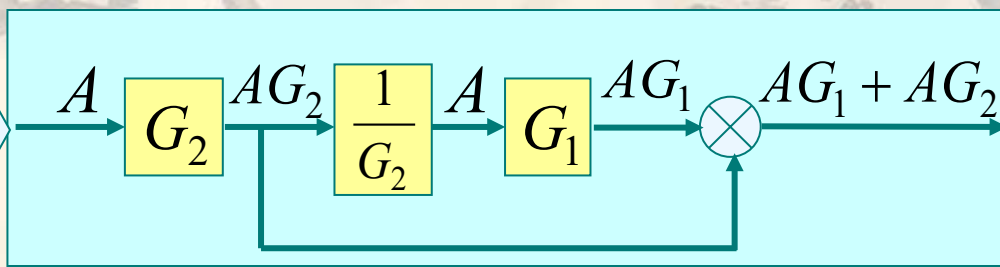
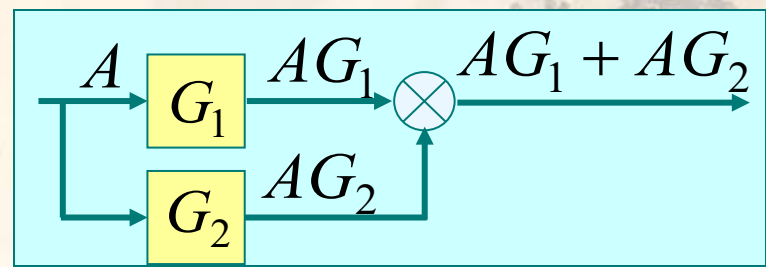
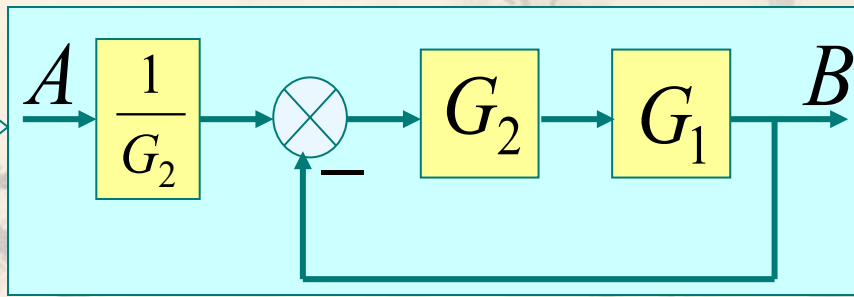
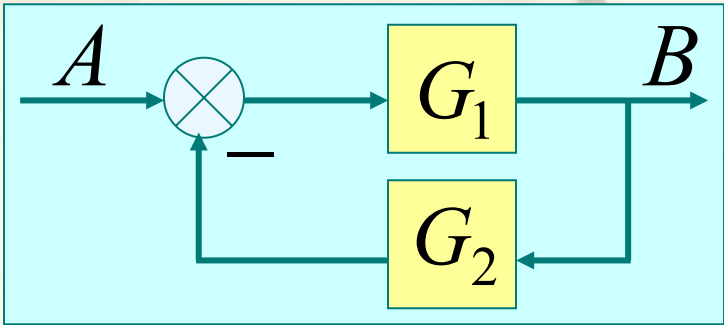
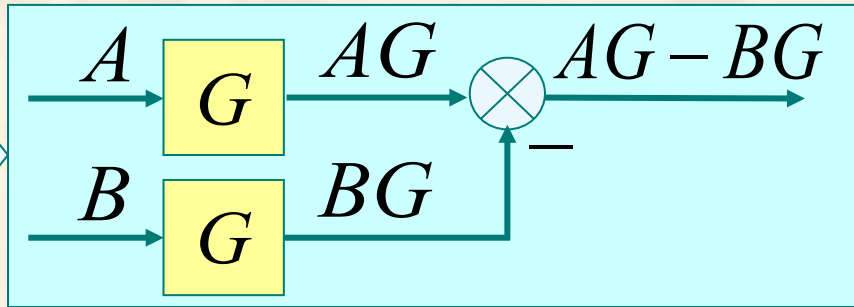
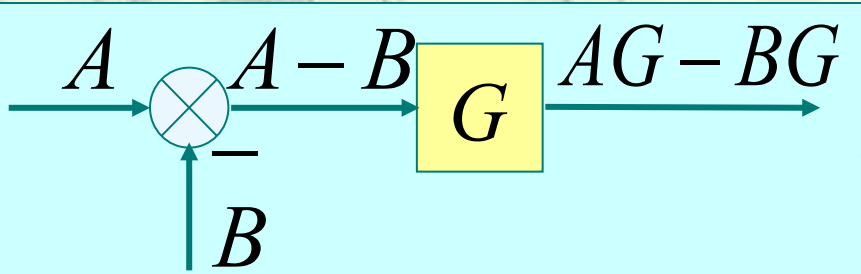
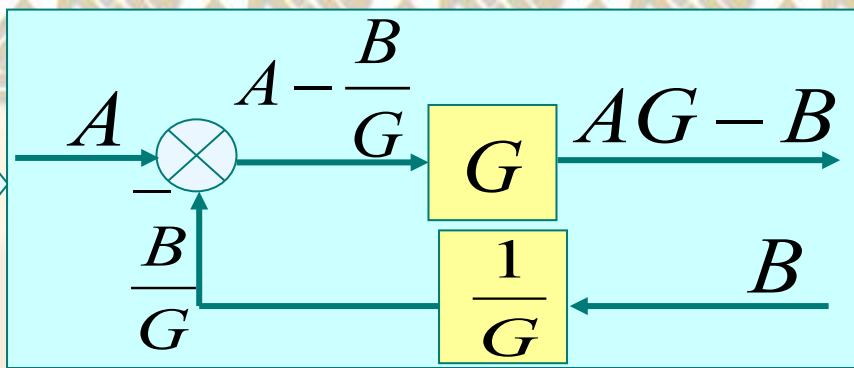
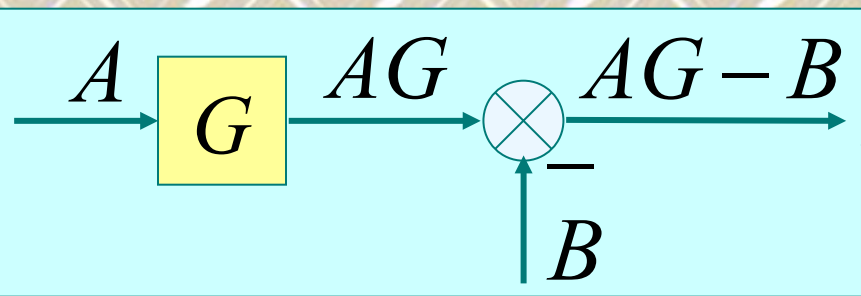


号:  
号:  
号:





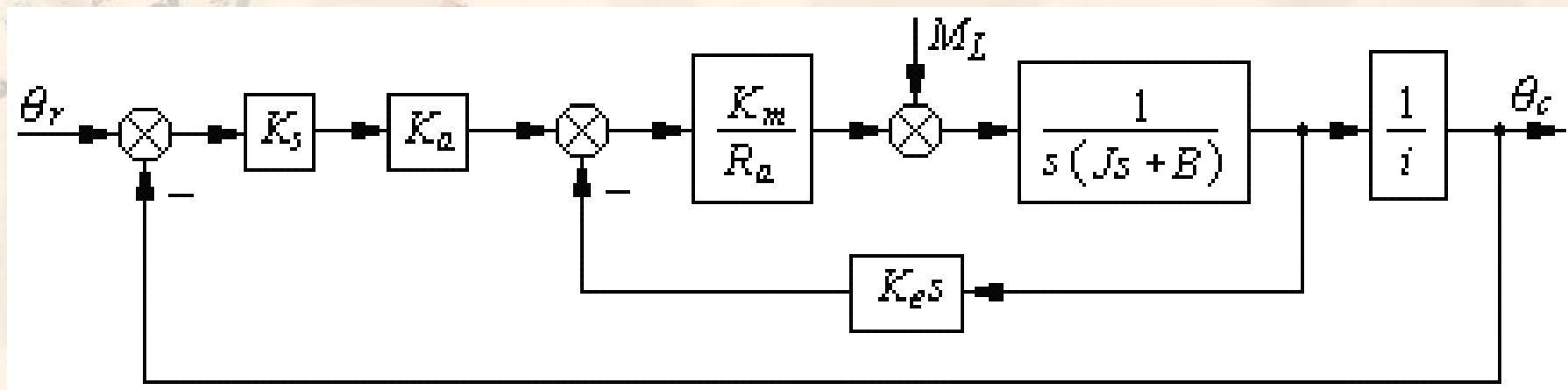




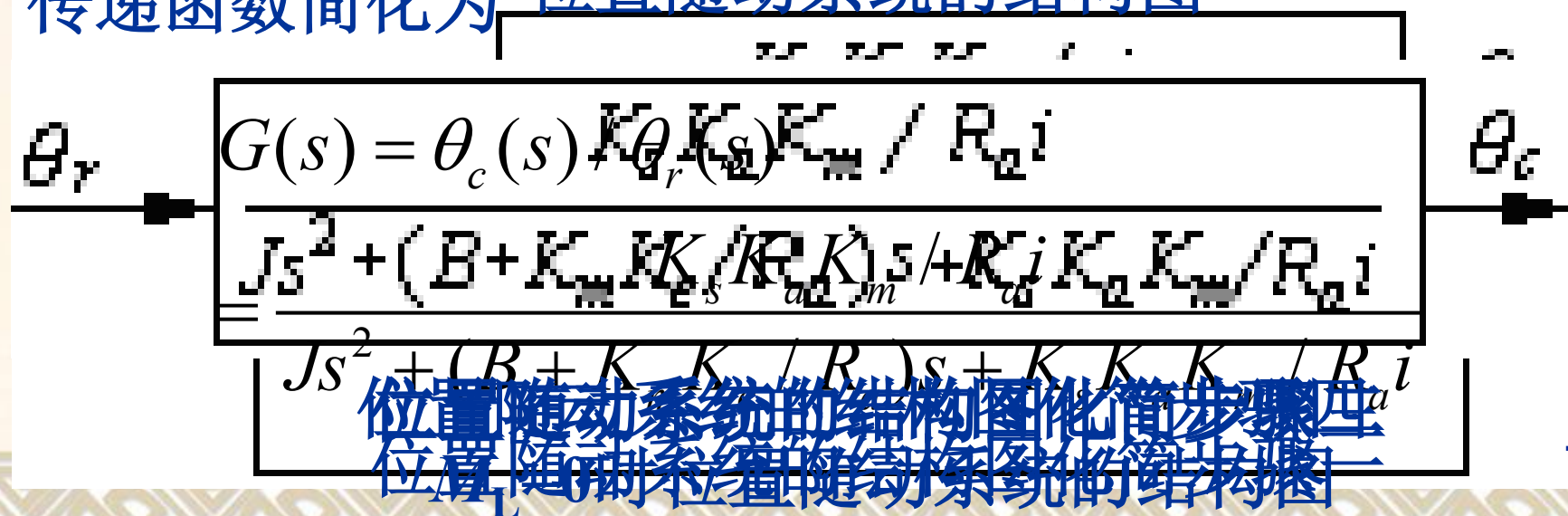
### 3. 结构图变换举例

#### 例22 位置随动系统的闭环传递函数

$$G(s) = \theta_c(s) / \theta_r(s)$$

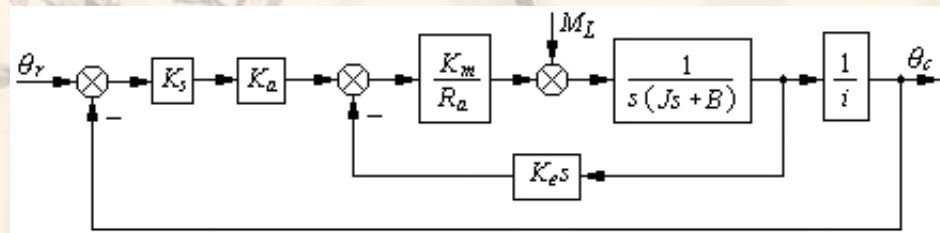


传递函数简化为 位置随动系统的结构图

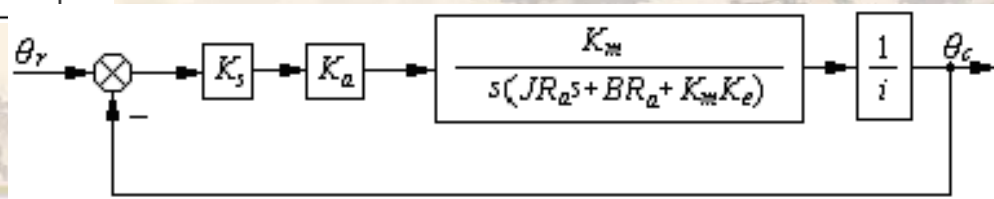
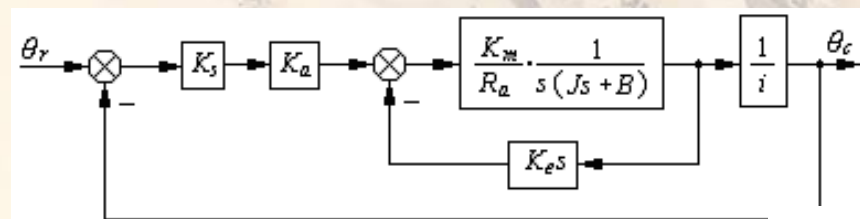
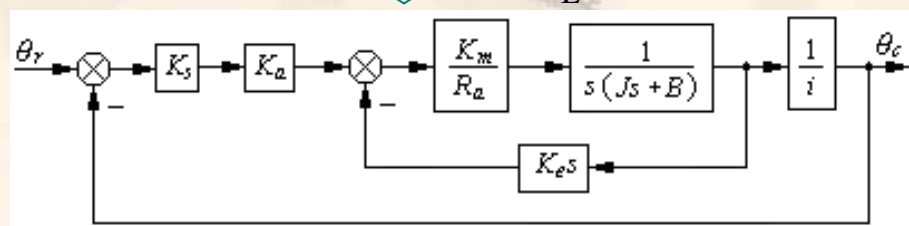


# 例22 位置随动系统的闭环传递函数(续)

## 整体流程图



令  $M_L = 0$



$$G(s) = \theta_c(s) / \theta_r(s)$$

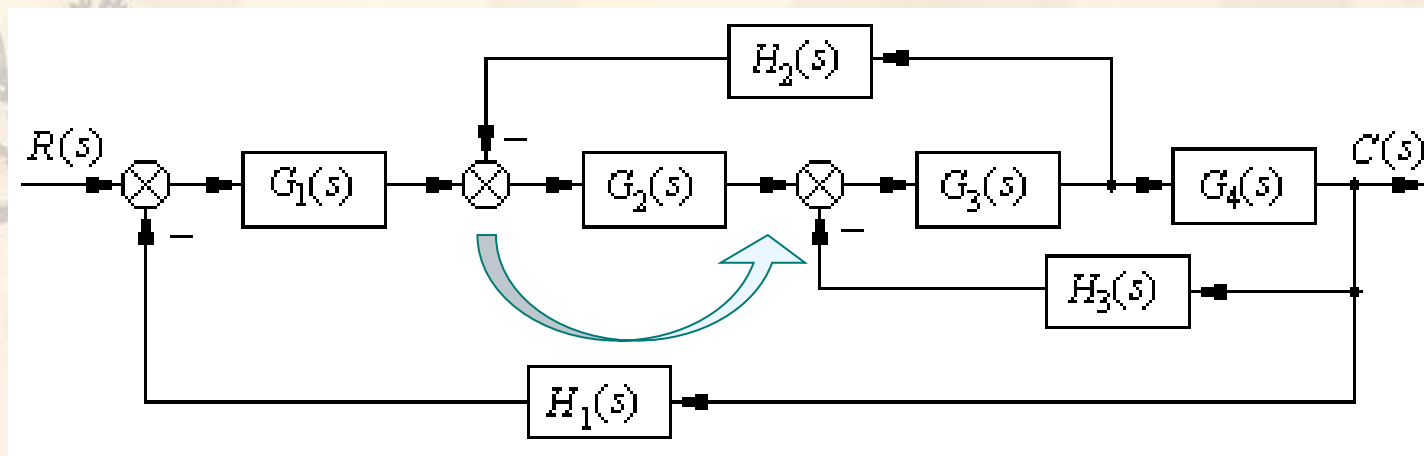
$$= \frac{K_s K_a K_m / R_a i}{Js^2 + (B + K_m K_e / R_a)s + K_s K_a K_m / R_a i}$$

$$\theta_r \rightarrow \left[ \frac{K_s K_a K_m / R_a i}{Js^2 + (B + K_m K_e / R_a)s + K_s K_a K_m / R_a i} \right] \rightarrow \theta_c$$

$$\theta_r \rightarrow \left[ \frac{K_s K_a K_m / i}{s(JR_a s + BR_a + K_m K_e)} \right] \rightarrow \theta_c$$



## 例23 简化结构图，并求系统传递函数 $C(s)/R(s)$



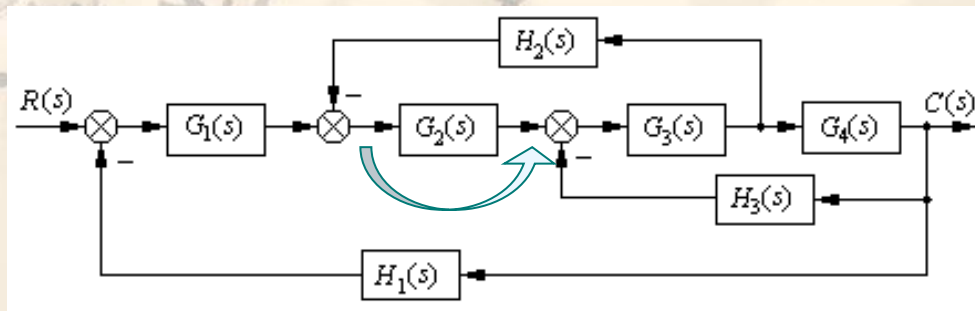
系统的传递函数为多回路系统结构图

$$\frac{C}{R} = \frac{G_1 G_2 G_3 G_4}{1 + G_2 G_3 H_2 + G_3 G_4 H_3 + G_1 G_2 G_3 G_4 H_1}$$

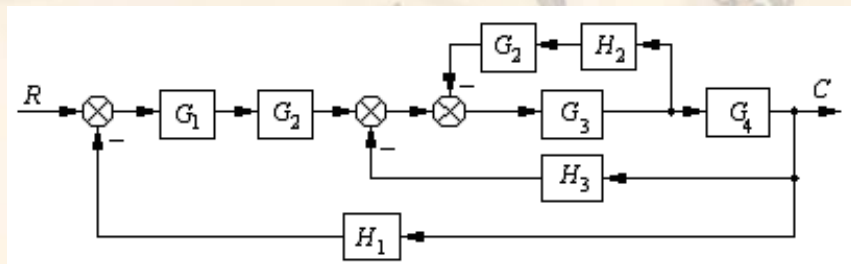
多回路系统结构图简化步骤四  
多回路系统结构图简化步骤三  
多回路系统结构图简化步骤三

# 例23 简化结构图，并求系统传递函数（续）

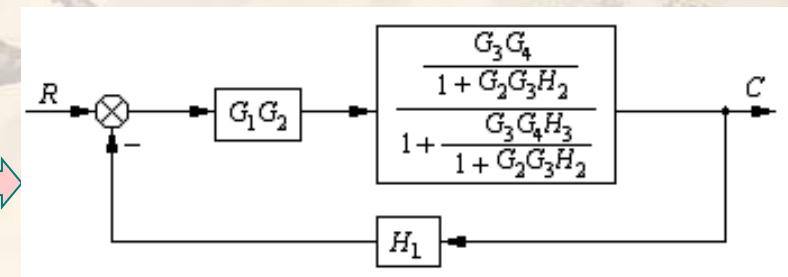
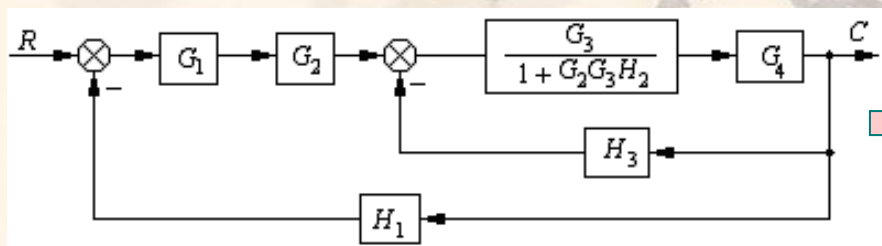
## 整体流程图



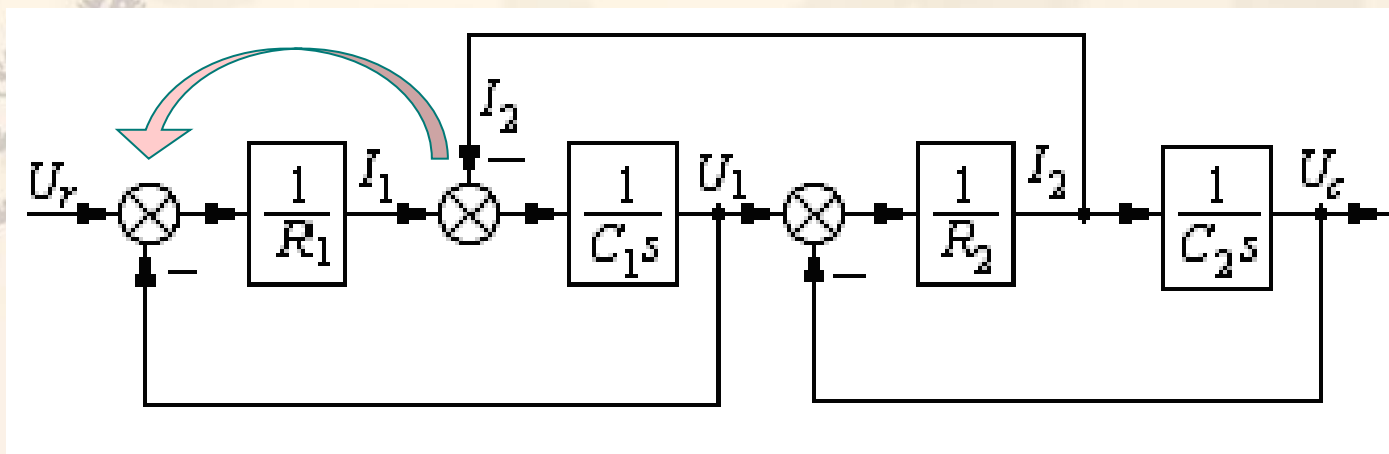
$$\frac{C(s)}{R(s)} = \frac{G_1 G_2 G_3 G_4}{1 + G_2 G_3 H_2 + G_3 G_4 H_3 + G_1 G_2 G_3 G_4 H_1}$$



$$R \rightarrow \left[ \frac{G_1 G_2 G_3 G_4}{1 + G_2 G_3 H_2 + G_3 G_4 H_3 + G_1 G_2 G_3 G_4 H_1} \right] \rightarrow C$$



## 例24 化简两级RC网络结构图，并求传函 $U_c(s)/U_r(s)$



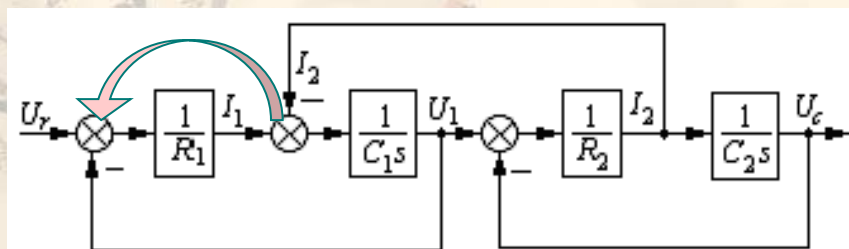
系统传递函数为RC电路串联的结构图

$$\frac{U_c(s)}{U_r(s)} = \frac{1}{R_1 R_2 C_1 C_2 s^2 + (R_1 C_1 + R_2 C_2 + R_1 C_2) s + 1}$$

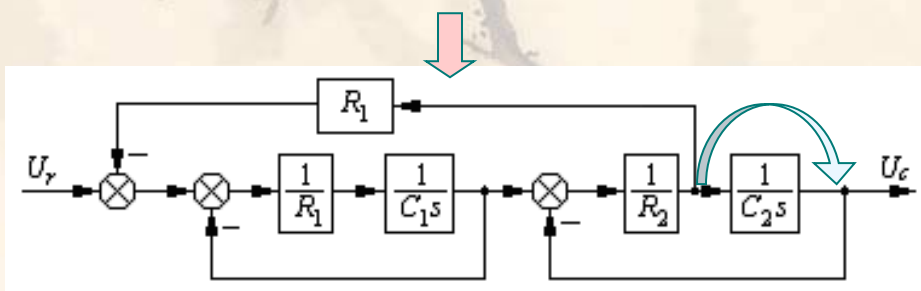
两级RC电路串联的结构图简化步骤三  
两级RC电路串联的结构图简化步骤三



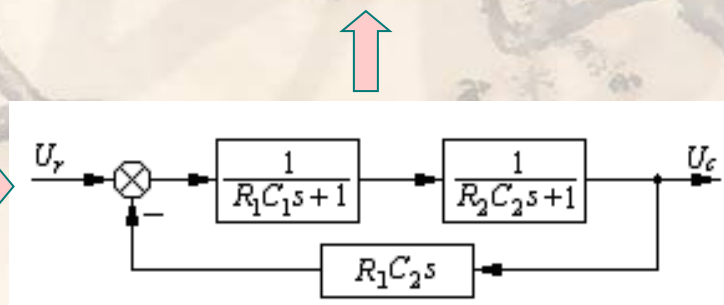
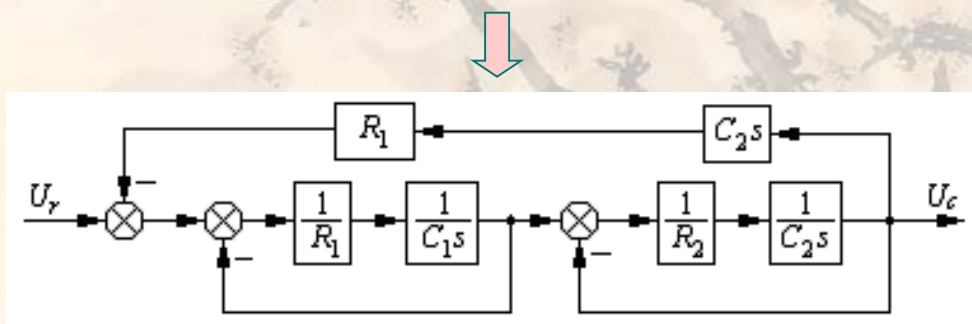
# 例24 化简两级RC网络结构图，并求传函（续） 整体流程图



$$\frac{U_c(s)}{U_r(s)} = \frac{1}{R_1 R_2 C_1 C_2 s^2 + (R_1 C_1 + R_2 C_2 + R_1 C_2)s + 1}$$



$$\frac{U_c}{U_r} = \frac{1}{R_1 R_2 C_1 C_2 s^2 + (R_1 C_1 + R_2 C_2 + R_1 C_2)s + 1}$$

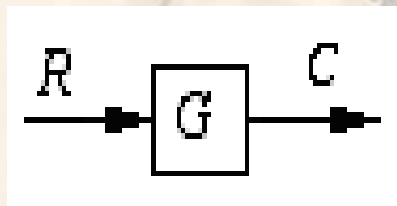


## § 2-6 控制系统的信号流图 (signal-flow graph)

### (一) 信号流图的定义

信号流图是由节点和支路组成的信号传递网络。

方框图



信号流图



支路

运算表达式

$$C = GR$$

节点

- 节点标志变量(信号)，在图中用圆圈表示；
- 支路是连接两个节点的定向线段，它有一定的复数增益(即传递函数)，称为支路增益；
- 信号只能在支路上沿箭头方向传递，经支路传递的信号应乘以支路的增益。

# 信号流图的常用术语:

输入节点: 只有输出支路的节点, 它一般表示系

输出节点: 只有输入支路的节点称为输出节点,

混合节点: 既有输入支路又有输出支路的节点称

为混合节点  
通路: 从某一节点开始沿支路箭头方向经过各相

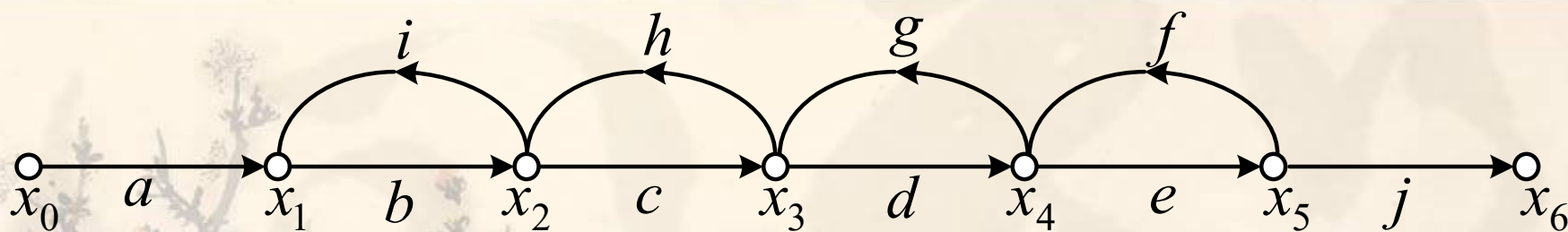
前向通路: 是指从输入节点开始并终止于输出节

点且与其它节点相交不多于一次的通路称为

不接触回路: 如果一信号流图有多个回路, 各回路

之间没有任何公共节点, 则称为不接触回路, 反之称为接触回路。





图中：

$x_0$  为输入节点（只有输入支路的节点）， $x_6$  为输出节点（只有输出支路的节点）。

$x_1$  不是通道节点，因为两次经过节点  $x_1$ 。

$x_2, x_3, x_4$  和  $x_5$  是混合节点。

$a, b, c, d, e, j$  是前向通路。

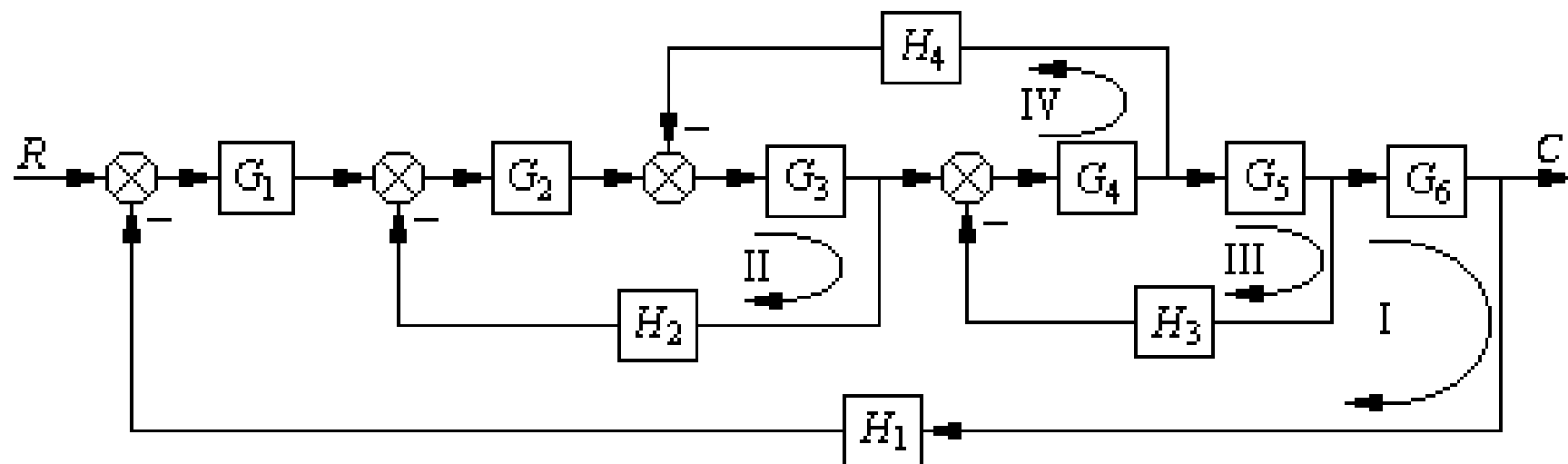
两两不相接触的回环有三个： $bi$  和  $ef$ ， $bi$  和  $dg$  和  $ch$  和  $ef$ 。  $a, b, c, d, e$  和  $f, g, h, i$  是通道。 $a, i$  不是通道（两条支路的方向不一致）。

没有三个及三个以上互不接触的回环。

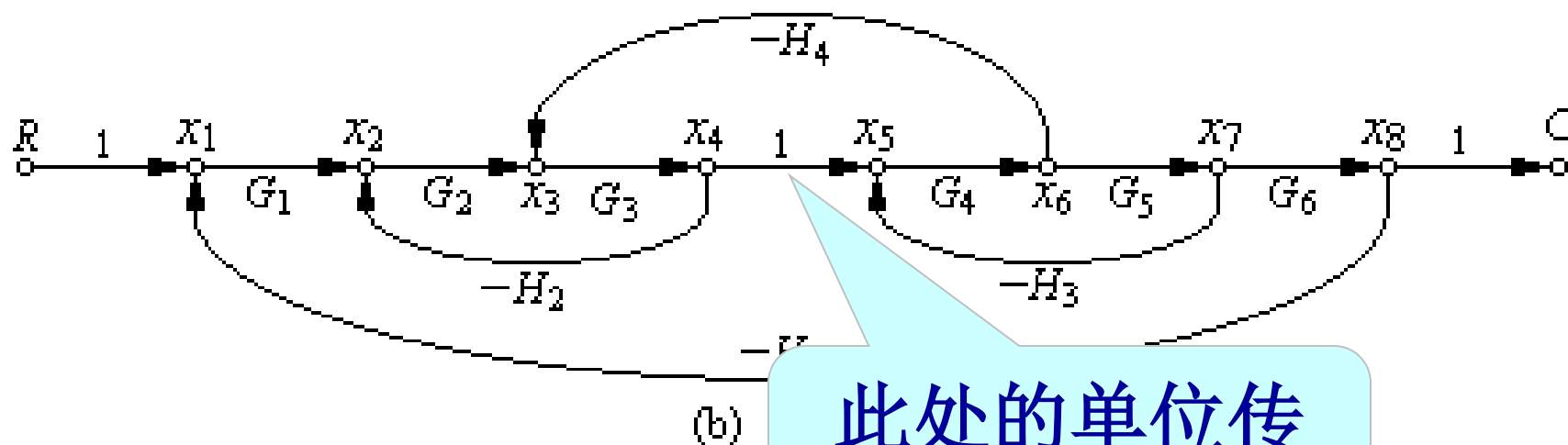
## (二) 信号流图的基本性质

- ❖ 以节点代表变量。输入节点代表输入量，输出节点代表输出量。用混合节点表示变量或信号的汇合。在混合节点处，出支路的信号等于入支路信号的叠加。
- ❖ 以支路表示变量或信号的传输和变换过程，信号只能沿着支路的箭头方向传输。在信号流图中每经过一条支路，相当在方框图中经过一个用方框表示的环节。
- ❖ 增加一个具有单位传输的支路，可以把混合节点化为输入节点。
- ❖ 对于同一个系统，信号流图的形式不是唯一的。

# 结构图与信号流图的对比



(a) 结构图



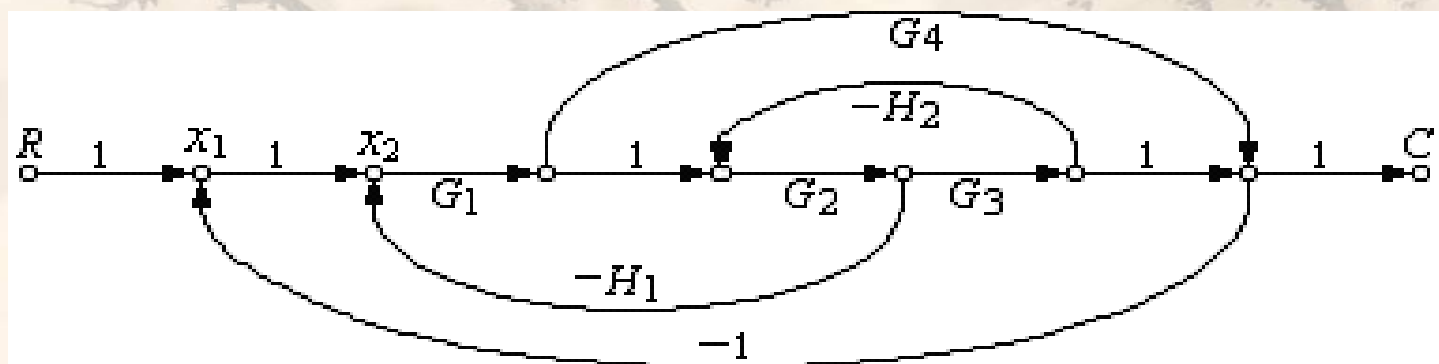
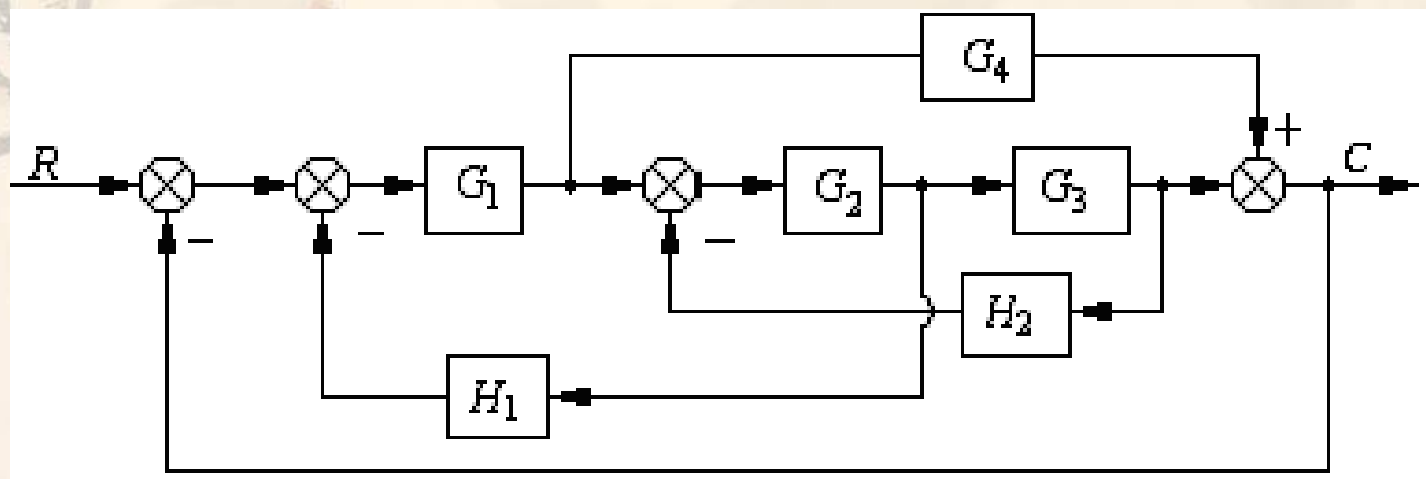
(b)

此处的单位传输不能舍去



# 由系统结构图绘制信号流图

例25 试将如下系统的结构图转化为信号流图。



### 三、梅逊(S.J.Mason)公式求传递函数 (Transfer function)

梅逊公式的表达式为：

$$G(s) = \frac{\sum_{k=1}^n P_k \Delta_k}{\Delta}$$

$G(s)$ ——总传递函数；

$\Delta$ ——特征式； $\Delta = 1 - \sum L_i + \sum L_i L_j - \sum L_i L_j L_k + \cdots$

$n$ ——所有前向通路的条数；

$P_k$ ——第 $k$ 条前向通路的增益；

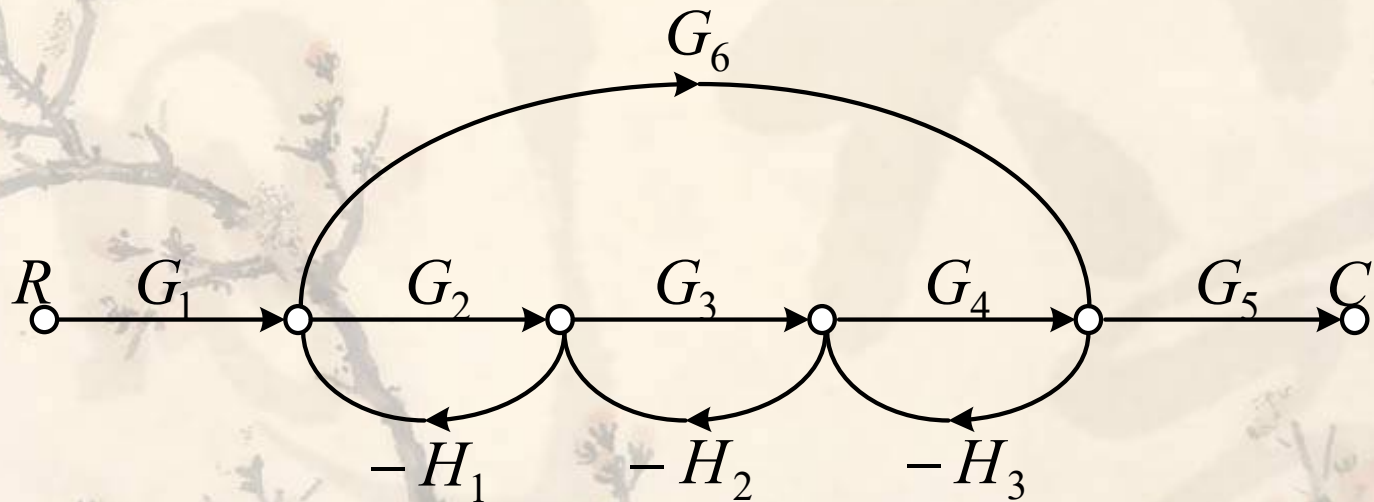
$\Delta_k$ ——在 $\Delta$ 中，将与第 $k$ 条前向通路相接触的回路除去后所余下的部分，称为余子式；

$\sum L_i$ ——所有回路的增益之和；

$\sum L_i L_j$ ——所有两两互不接触回路的回路增益乘积之和；

$\sum L_i L_j L_k$ ——所有三个互不接触回路的回路增益乘积之和。

## 例26 根据信号流图求系统传递函数



围绕前向通路

$$P_1 = G_1 G_2 G_3 G_4 G_5$$

$$P_2 = G_6$$

$$\Delta_2 = 1 + G_3 H_2$$

两两不相交回路

$$\sum L_i L_j = L_1 L_3 = G_2 G_4 H_1 H_3$$



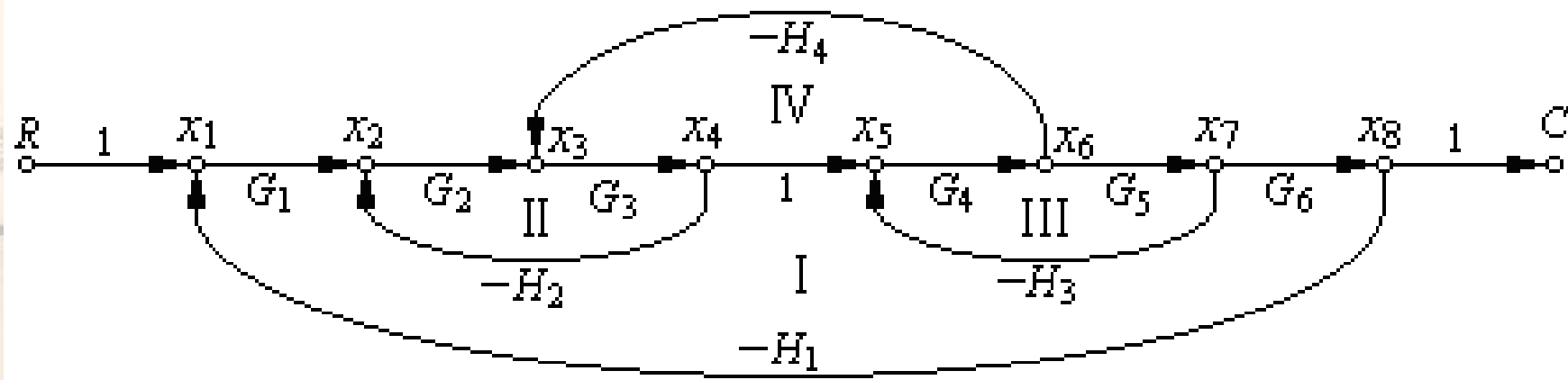
$$\Delta = 1 - \sum L_1 + \sum L_2$$

系统传递函数为：

$$\frac{C(s)}{R(s)} = \frac{P_1\Delta_1 + P_2\Delta_2}{1 - \sum L_i + \sum L_i L_j}$$

$$= \frac{G_1 G_2 G_3 G_4 G_5 + G_1 G_5 G_6 + G_1 G_3 G_5 G_6 H_2}{1 + G_2 H_1 + G_3 H_2 + G_4 G_3 + G_6 H_1 H_2 H_3 + G_2 H_1 G_4 H_3}$$

## 例27 求如图所示信号流图的增益



$$\sum_{i=1}^4 L_i = -G_1 G_2 G_3 G_4 G_5 G_6 H_1 - G_2 G_3 H_2 - G_4 G_5 H_3 - G_3 G_4 H_4$$

由图可知 共四个回路

特征式

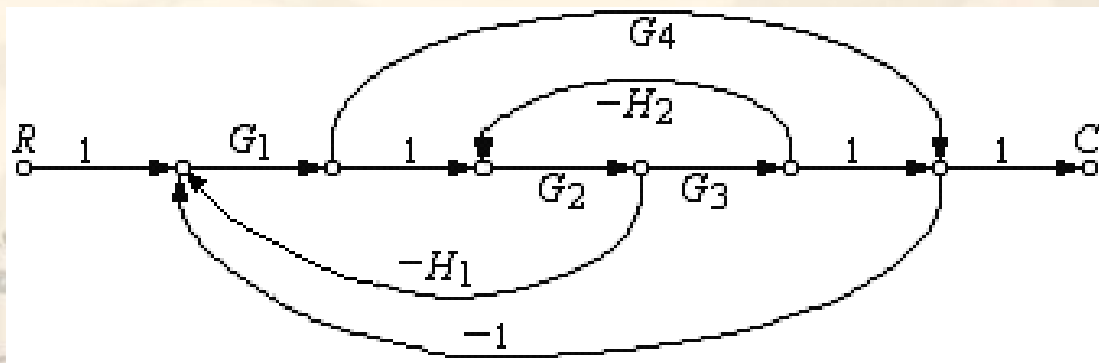
$$P_1 = G_1 G_2 G_3 G_4 G_5 G_6, \Delta_1 = 1$$

$$P = \frac{p_1 \Delta_1}{\Delta} \quad \Delta = 1 - \sum L_i + \sum L_i L_j$$

$$= 1 + G_1 G_2 G_3 G_4 G_5 G_6 H_1 + G_2 G_3 H_2 + G_4 G_5 H_3 + G_3 G_4 H_4$$

$$= \frac{G_1 G_2 G_3 G_4 G_5 G_6}{1 + G_1 G_2 G_3 G_4 G_5 G_6 H_1 + G_2 G_3 H_2 + G_4 G_5 H_3 + G_3 G_4 H_4}$$

## 例28 求如图所示信号流程图的增益



4个回路:

$$L_1 = -G_1 G_2 H_1, \quad L_2 = -G_2 G_3 H_2, \quad L_3 = -G_1 G_2 G_3, \quad L_4 = -G_1 G_4$$

回路中 $L_2$ 和 $L_4$ 不接触, 所以  $L_2 L_4 = (-G_2 G_3 H_2)(-G_1 G_4)$

因而, 特征式:

$$\begin{aligned} \Delta &= 1 - L_1 - L_2 - L_3 - L_4 + L_2 L_4 \\ &= 1 + G_1 G_2 H_1 + G_2 G_3 H_2 + G_1 G_2 G_3 + G_1 G_4 + G_1 G_2 G_3 G_4 H_2 \end{aligned}$$

图中有两条前向通路, 故 $n=2$ 。

第一条前向通路 $P_1 = G_1 G_2 G_3$ , 与每个回路均有接触, 故 $P_1$ 的余子式  $\Delta_1 = 1$ 。



## 例28 求如图所示信号流程图的增益（续）

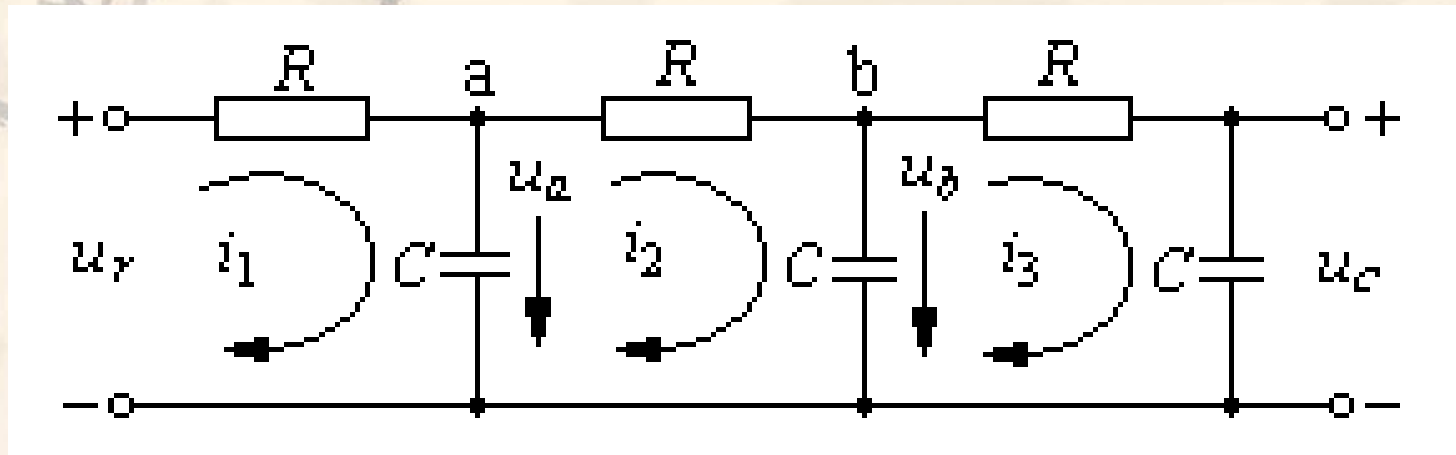
第二条前向通路  $P_2 = G_1 G_4$ ，与回路  $L_2 = -G_2 G_3 H_2$  不接触，故在  $\Delta$  中去掉  $L_1, L_3, L_4, L_2 L_4$ ， $\Delta$  余下的为

$$\Delta_2 = (1 + G_2 G_3 H_2)$$

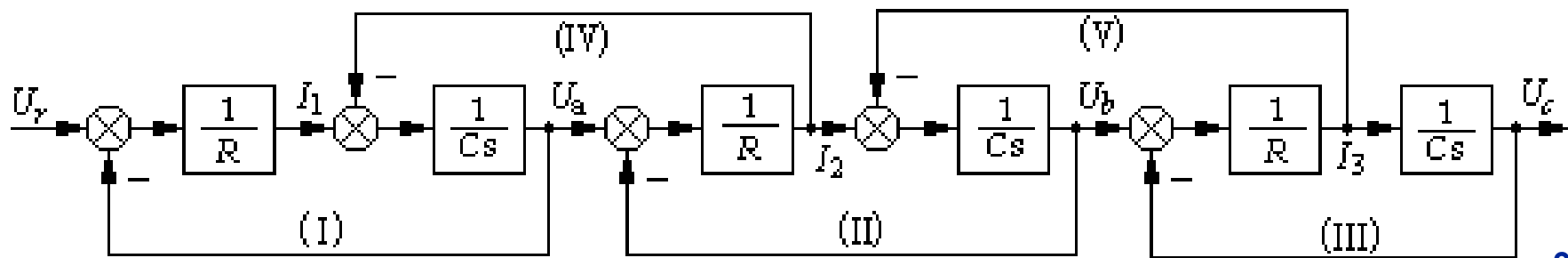
则由梅逊公式可得信号流图的传递函数

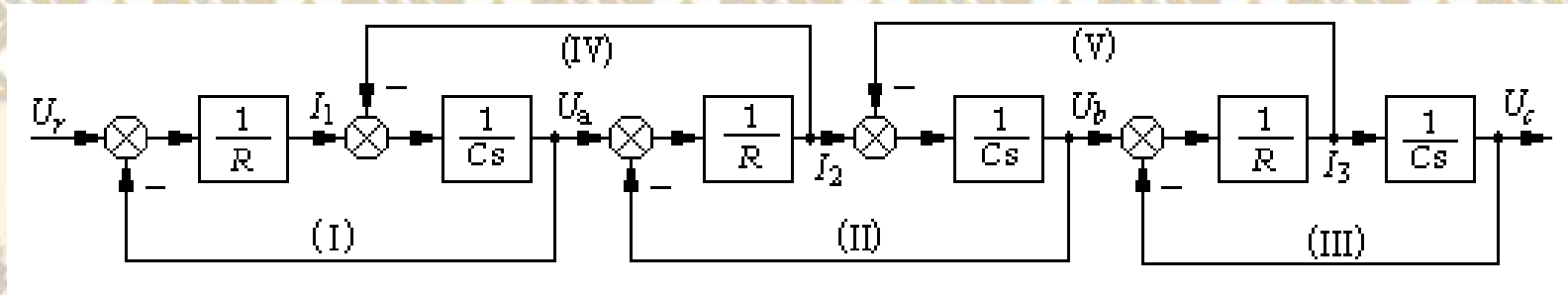
$$\begin{aligned} P &= \frac{P_1 \Delta_1 + P_2 \Delta_2}{\Delta} \\ &= \frac{G_1 G_2 G_3 + G_1 G_4 (1 + G_2 G_3 H_2)}{1 + G_1 G_2 H_1 + G_2 G_3 H_2 + G_1 G_2 G_3 + G_1 G_4 + G_1 G_2 G_3 G_4 H_2} \end{aligned}$$

## 例29 绘制三级RC滤波网络结构图，并求其传递函数 $U_c/U_r$



1. 绘制结构图。用复阻抗与电压、电流关系，可以直接绘出网络的结构图：





## 2. 求传递函数

该结构图有5个反馈回路，回路传递函数均相同，

即 
$$L_1 = L_2 = \cdots = L_5 = -\frac{1}{RCs} \quad \sum L_i = -\frac{5}{RCs}$$

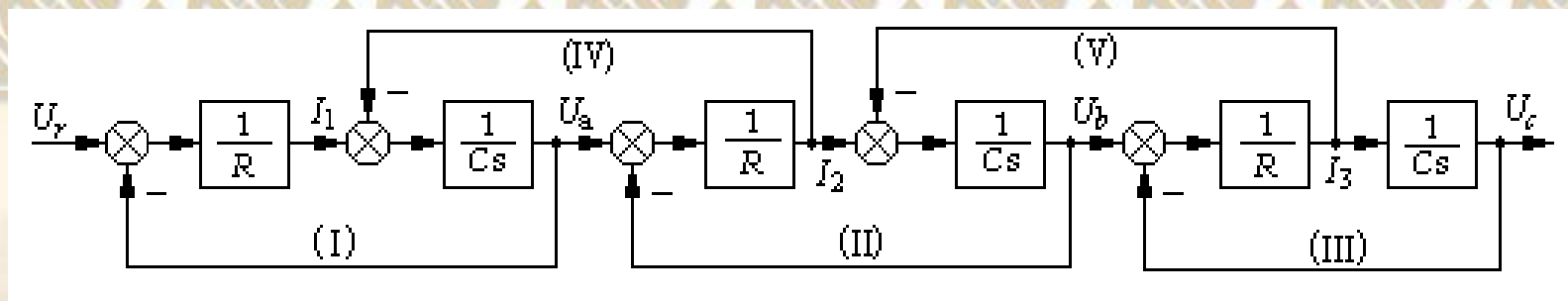
有6组两两互不接触的回路，它们是I-II、I-III、I-V、II-III、III-IV及IV-V，因此

$$\sum L_i L_j = \frac{6}{R^2 C^2 s^2}$$

有1组三个互不接触的回路，即I-II-III，故

$$\sum L_i L_j L_k = -\frac{1}{R^3 C^3 s^3}$$





特征式:

$$\begin{aligned}\Delta &= 1 - \sum_5 L_i + \sum_6 L_i L_j - \sum_1 L_i L_j L_k \\ &= 1 + \frac{5}{RCs} + \frac{6}{R^2 C^2 s^2} + \frac{1}{R^3 C^3 s^3}\end{aligned}$$

前向通路只有一条，即  $P_1 = \frac{1}{R^3 C^3 s^3}$

且前向通路与各反馈回路均有接触，余子式  $\Delta_1 = 1$ 。  
则由梅逊公式可求得总传递函数：

$$\begin{aligned}\frac{U_c}{U_r} &= \frac{P_1 \Delta_1}{\Delta} = \frac{\frac{1}{R^3 C^3 s^3}}{1 + \frac{5}{RCs} + \frac{6}{R^2 C^2 s^2} + \frac{1}{R^3 C^3 s^3}} \\ &= \frac{1}{R^3 C^3 s^3 + 5R^2 C^2 s^2 + 6RCs + 1}\end{aligned}$$

## § 2-7 控制系统的传递函数 (Transfer function)

闭环控制系统的典型结构如下图所示:

$R(s)$

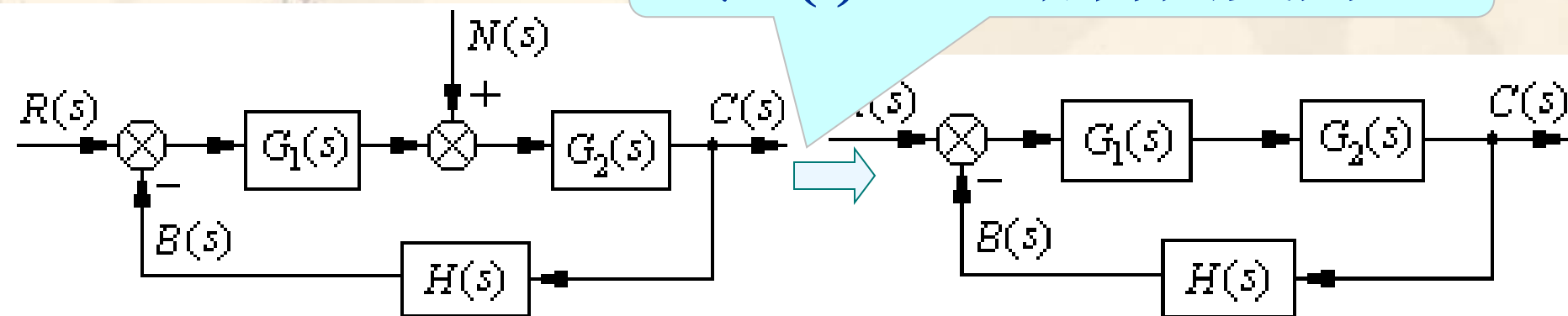
注意：开环传递函数并不是第一章所述的开环系统的传递函数，而是指闭环系统在开环时的传递函数。

断开系统的主反馈通路，这时前向通路传递函数与反馈通路传递函数的乘积  $G_1(s)G_2(s)H(s)$ ，称为该系统的开环传递函数。也即

$$\frac{B(s)}{R(s)} = G_1(s)G_2(s)H(s)$$

## 2. $r(t)$ 作用下系统的闭环传递函数

令  $n(t)=0$ ，结构图变为：



求出闭环传递函数：

$$G_B(s) = \frac{C(s)}{R(s)} = \frac{G_1(s)G_2(s)}{1 + G_1(s)G_2(s)H(s)}$$

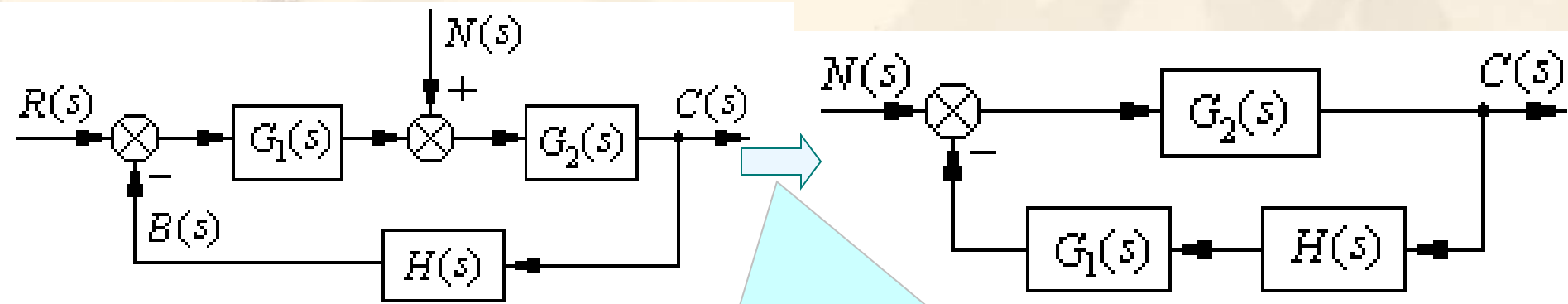
输出函数与输入函数之比

输入信号  $r(t)$  作用下系统的闭环传递函数。

$$\frac{G_1(s)G_2(s)}{1 + G_1(s)G_2(s)H(s)} R(s)$$



### 3. $n(t)$ 作用下系统的闭环传递函数



求出闭环传递函数。令  $r(t)=0$ ，结构图变为：

$$\frac{C_n(s)}{N(s)} = G_{Bn}(s) = \frac{G_2(s)}{1 + G_1(s)G_2(s)H(s)}$$

输出函数 氏变换式。

干扰  $n(t)$  作用下系统的闭环传递函数。

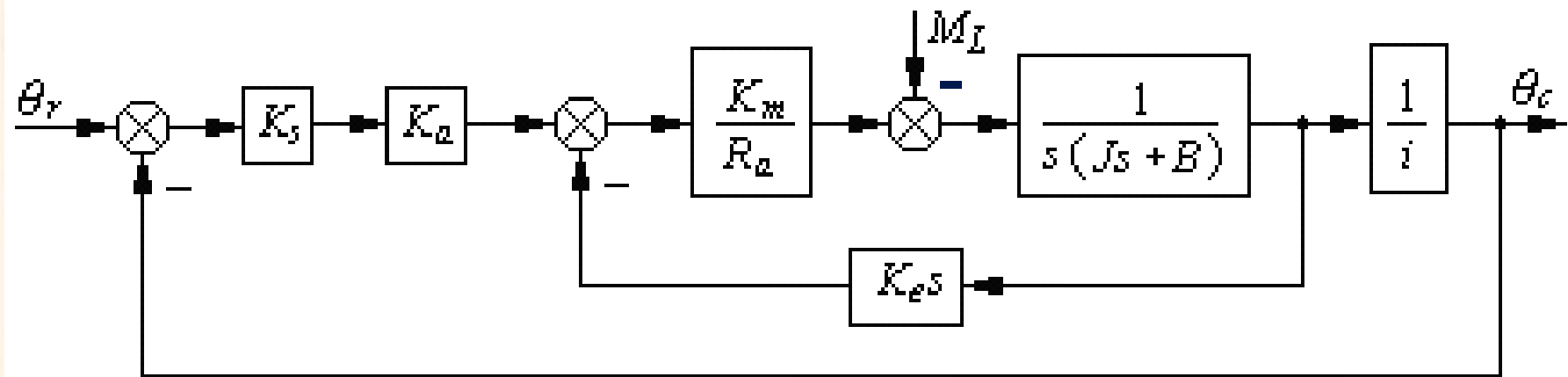
$$\frac{G_2(s)}{G_1(s)G_2(s)H(s)} N(s)$$

## 4. 系统的总输出

根据线性系统的叠加原理，系统的总输出应为各外作用引起的输出的总和。

$$\begin{aligned} C_{\Sigma}(s) &= G_B(s)R(s) + G_{Bn}(s)N(s) \\ &= \frac{G_1(s)G_2(s)}{1 + G_1(s)G_2(s)H(s)}R(s) + \frac{G_2(s)}{1 + G_1(s)G_2(s)H(s)}N(s) \end{aligned}$$

**例30** 根据下图位置随动系统的结构图，试求系统在给定值  $\theta_r(t)$  作用下的传递函数及在负载力矩  $M_L$  作用下的传递函数，并求两信号同时作用下，系统总输出的拉普拉斯变换式。



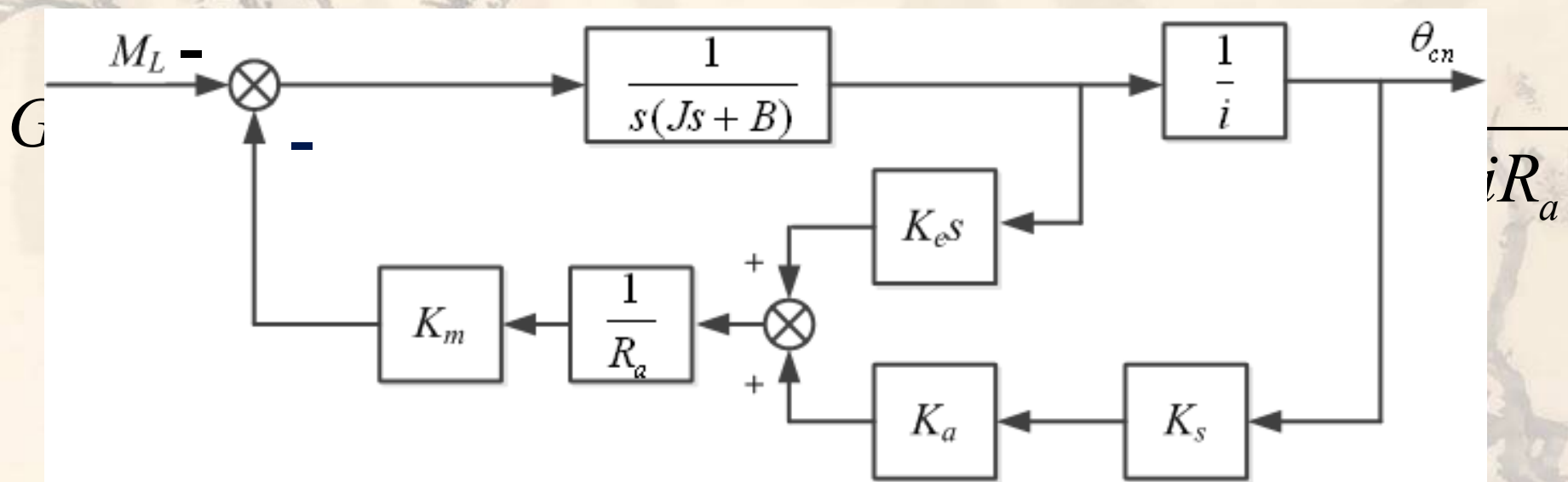
**解 (1)** 求  $\theta_r(t)$  作用下系统的闭环传递函数

$$G(s) = \frac{\theta_c(s)}{\theta_r(s)} = \frac{K_a K_s K_m / i R_a}{Js^2 + (B + K_m K_e / R_a)s + K_a K_s K_m / i R_a}$$



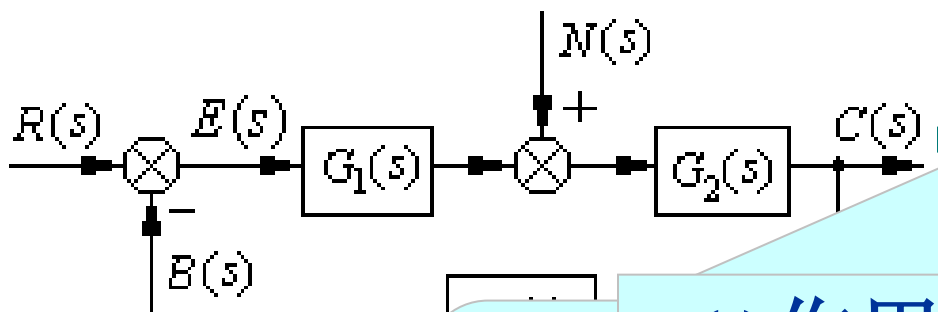
### 例30（续）

解 (2) 求  $M_L$  作用下系统的闭环传递函数



在  $\theta_r=0$  的系统简化结构图，其中  $\theta_{cn}(t)$  表示在干扰作用下系统的输出信号。

# 5. 闭环系统的误差传递函数 (Error transfer function of close-loop system)



或

$$e(t) = r(t) - b(t)$$

$$E(s) = R(s) - B(s)$$

规定  $r(t)$  作用下的误差传递函数  
取  $n(t)$  作用下系统的误差传递函数，取  $r(t)=0$  时的  $E(s)/N(s)$ 。

$$G_{Be}(s) = \frac{E(s)}{R(s)} = \frac{1}{1 + G_1(s)G_2(s)H(s)}$$

$$G_{Ben}(s) = \frac{E_n(s)}{N(s)} = \frac{-G_2(s)H(s)}{1 + G_1(s)G_2(s)H(s)}$$

系统的总误差:

$$E_{\Sigma}(s) = G_{Be}(s)R(s) + G_{Ben}(s)N(s)$$

## 6. 闭环系统的特征方程 (Characteristic equation of close-loop systems)

$$D(s)=1+G_1(s)G_2(s)H(s)=0$$

——闭环系统的特征方程

如果将上式改写成如下形式：

$$s^n + \alpha_{n-1}s^{n-1} + \dots + \alpha_1s + \alpha_0 = (s+p_1)(s+p_2)\dots(s+p_n)=0$$

则 $-p_1, -p_2, \dots, -p_n$ 称为特征方程的根，或称为闭环系统的极点。

如果系统中控制装置的参数设置，能满足

$$|G_1(s)G_2(s)H(s)| \gg 1 \text{ 及 } |G_1(s)H(s)| \gg 1$$



系统的总输出表达式:

$$C_{\Sigma}(s) = \frac{G_1(s)G_2(s)R(s)}{1 + G_1(s)G_2(s)H(s)} + \frac{G_2(s)N(s)}{1 + G_1(s)G_2(s)H(s)}$$

可近似为:  $C_{\Sigma}(s) \approx \frac{1}{H(s)} R(s) + 0 \cdot N(s)$

即:  $E_{\Sigma}(s) = R(s) - B(s) = R(s) - H(s)C_{\Sigma}(s) \approx 0$

表明: 采用反馈控制的系统, 适当地匹配结构参数, 有可能获得较高的工作精度和很强的抑制干扰的能力, 同时又具备理想的复现、跟随指令输入的性能, 这是反馈控制优于开环控制之处。

# 电磁转矩

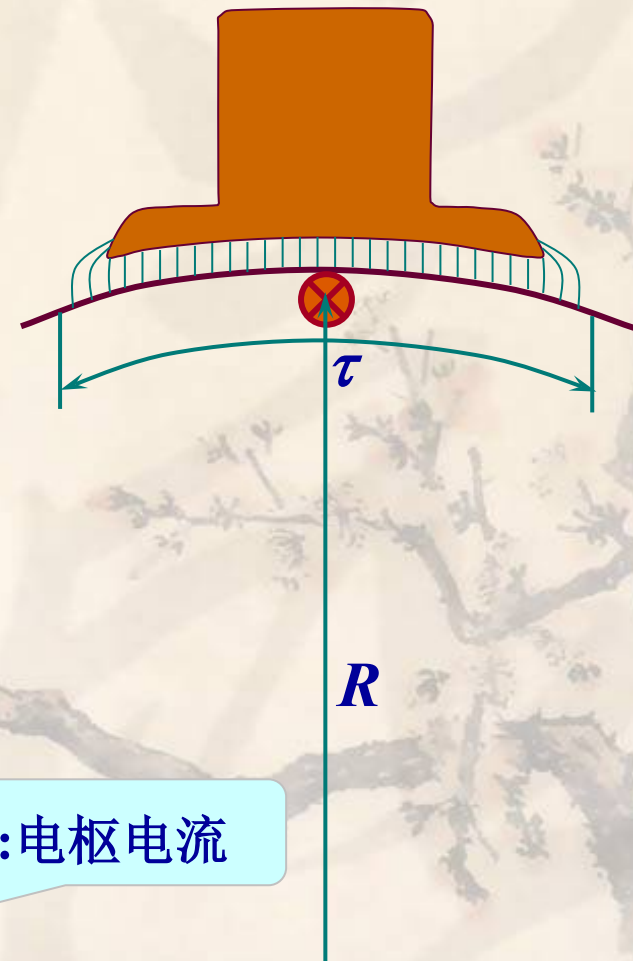


- 电枢绕组串联总匝数:  $N$
- 电枢绕组并联支路数:  $2a$
- 总导体数:  $2N \cdot 2a = 4aN$
- 电枢的周长:  $2\pi R = 2p\tau$
- 电磁转矩:

$$\begin{aligned}
 M &= 4aN \cdot FR \\
 &= 4aN \cdot \frac{p\tau}{\pi} \cdot B l i \\
 &= 4aN \cdot \frac{p\tau}{\pi} \cdot \frac{\varphi}{\tau l} \cdot l i \\
 &= 4aN \cdot \frac{p}{\pi} \cdot \varphi i \\
 &= \frac{2pN}{\pi} \cdot \varphi \cdot 2ai \\
 &= C_m i_a
 \end{aligned}$$

$C_m$ : 电动机轴转矩系数

$i_a$ : 电枢电流



# 电动势



每个导体:  $e = B l v$

- 导体切割磁场线的线速度:

- 电动势:

$$E = 2N e$$

$$v = \frac{2\pi R}{60} n = \frac{2p\tau}{60} n$$

$$= 2N B l v$$

$$= 2N \cdot \frac{\varphi}{\tau l} \cdot l \cdot \frac{2p\tau}{60} n = \frac{4pN}{60} \varphi n$$

$$= C_d \omega$$

$C_d$ 为电动势  
系数

$\omega$ 为电动机轴角速  
度